

MARCIN WOŁOSZYN, HELENA ZOLL-ADAMIKOWA

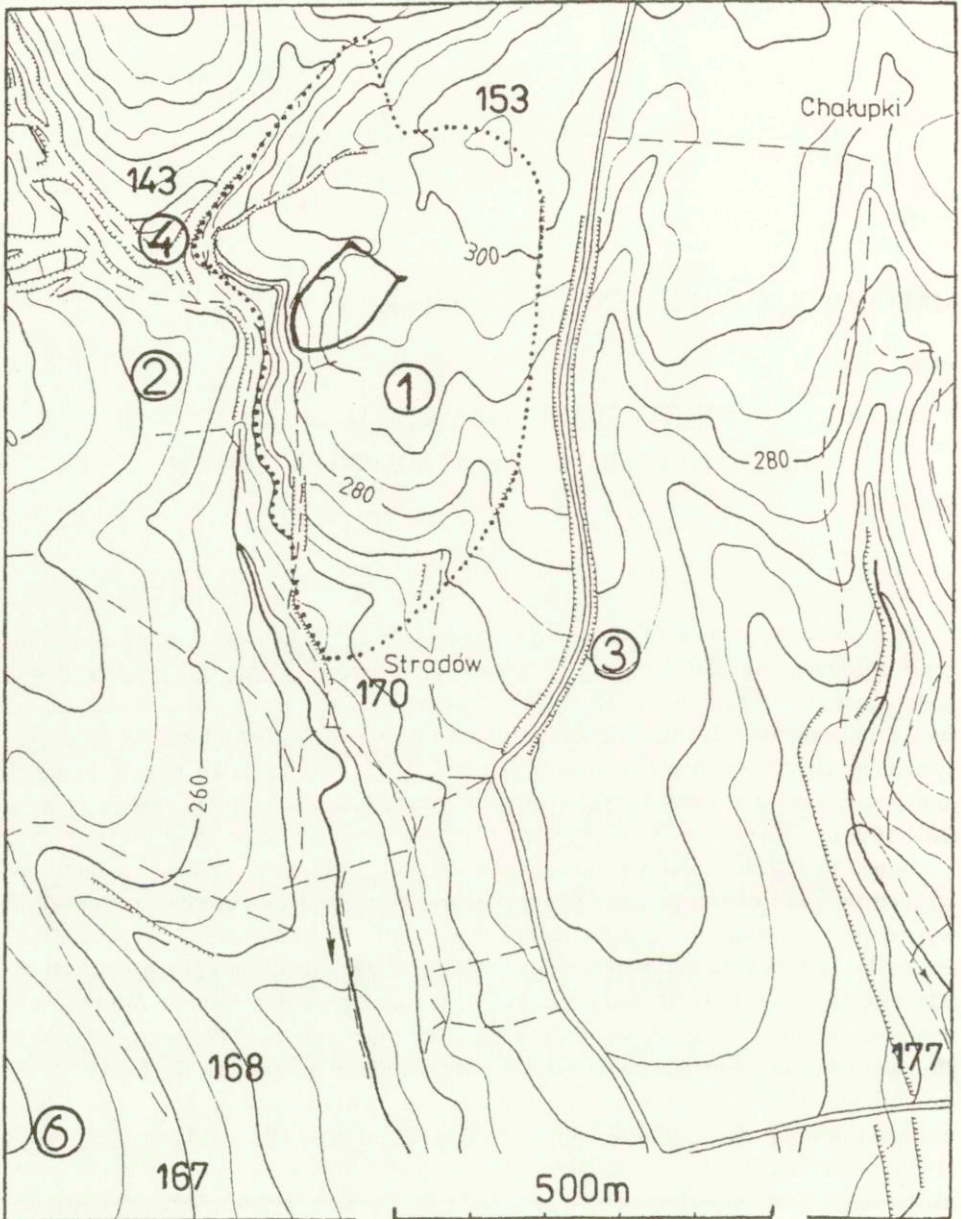
PIERWSZE BADANIA WAŁÓW PODGRODZI W STRADOWIE W 1997 R.

I

Stradowski wczesnośredniowieczny zespół osadniczy składa się z wielkiego założenia obronnego na stan. 1 (tzw. gród właściwy – *Zamczysko* oraz trzy wydodrębnione podgrodzia zwane *Barzyńskie*, *Mieścisko* i *Waliki*), a także z dwóch osad otwartych na stan. 2 i 4, oraz dwóch cmentarzysk na stan. 3 i 6 (ryc. 1–2). Zespół ten był obiektem systematycznych badań wykopaliskowych w l. 1956–1963; z kilku tomów przygotowywanej monografii uzyskanych wówczas źródeł, ukazała się dotąd część pierwsza (Maj 1990).

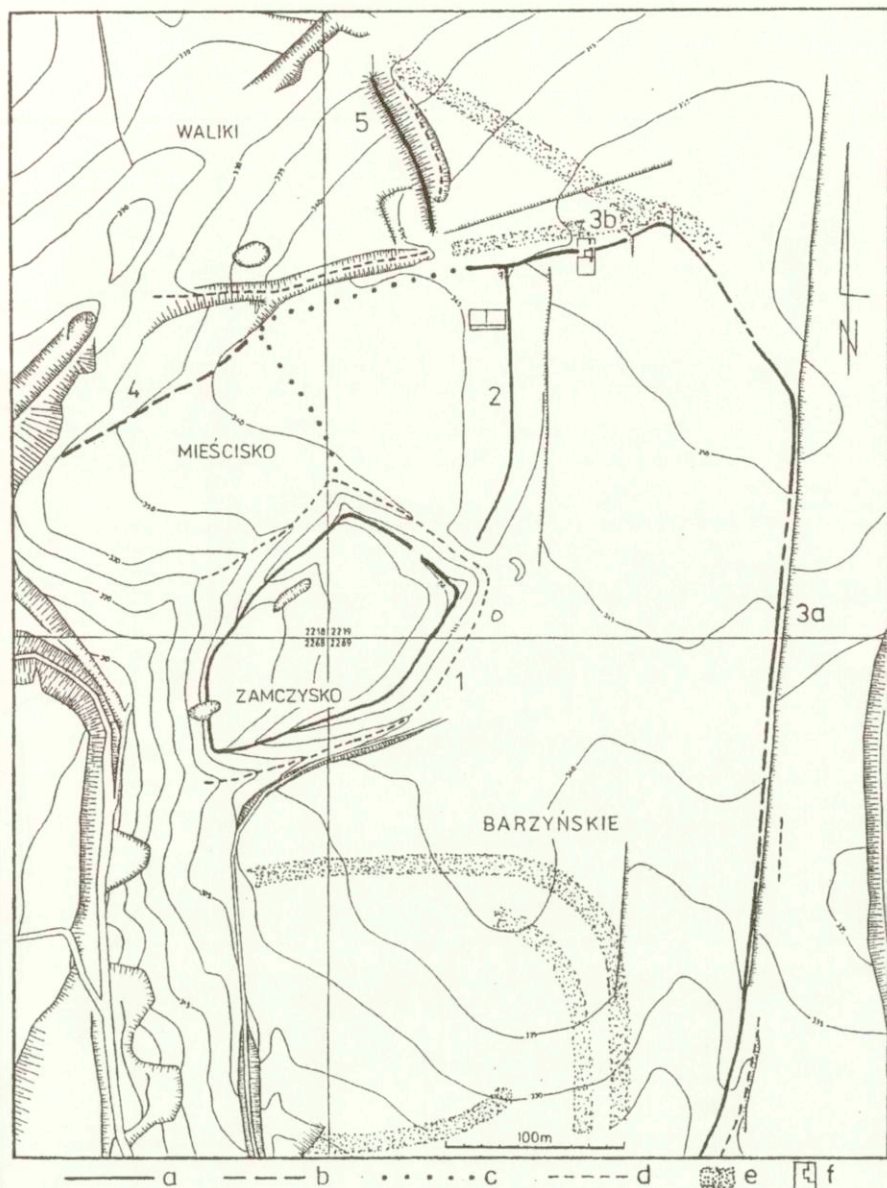
W trakcie trzech sezonów wykopaliskowych, w l. 1958–1960, zbadano przekopem 10 metrowej szerokości potężny wał grodu właściwego, dziś jeszcze sięgający 6 m wysokości, oraz jego fosę, zagłębioną również ok. 6 m. Założenie tego umocnienia datowano początkowo na poł. VIII w. (Dąbrowska 1965, 28), bądź na VII lub VII/VIII w. (Dąbrowska 1973, 168). W wyniku analizy ceramiki, głównie z warstw osadniczych poprzedzających wzniesienie wału, częściowo też z jego nasypu, przesunięto *terminus post quem* budowy fortyfikacji na okres nie wcześniejszy niż połowa X w. (Maj, Zoll-Adamikowa 1992). W najpełniejszym dotąd opracowaniu konstrukcji i trzech faz wznoszenia umocnień grodu właściwego (W–I, W–II i W–III), A. Tyniec-Kępińska (1996) podtrzymała połowę X w. jako najprawdopodobniejszą datę budowy umocnienia najstarszego, tj. W–I. Niejasny pozostaje nadal termin porzucenia warowni: czy nastąpiło to w wyniku celowej działalności pierwszych Piastów (Dąbrowska 1965, 165–167; Żaki 1974, 397–398), czy też dopiero w okresie tzw. II monarchii, na co wskazywałyby stosunkowo późne (z ok. połowy XI w.) daty ¹⁴C próbek węgla pobranych z najpóźniejszej konstrukcji wału W–III (Maj, Zoll-Adamikowa 1992, 290–291).

W ramach Projektu Badawczego Zamawianego KBN nr 016–07 pt. „*Polska w dobie zjazdu gnieźnieńskiego*” Instytut Archeologii i Etnologii PAN uzyskał fundusze na



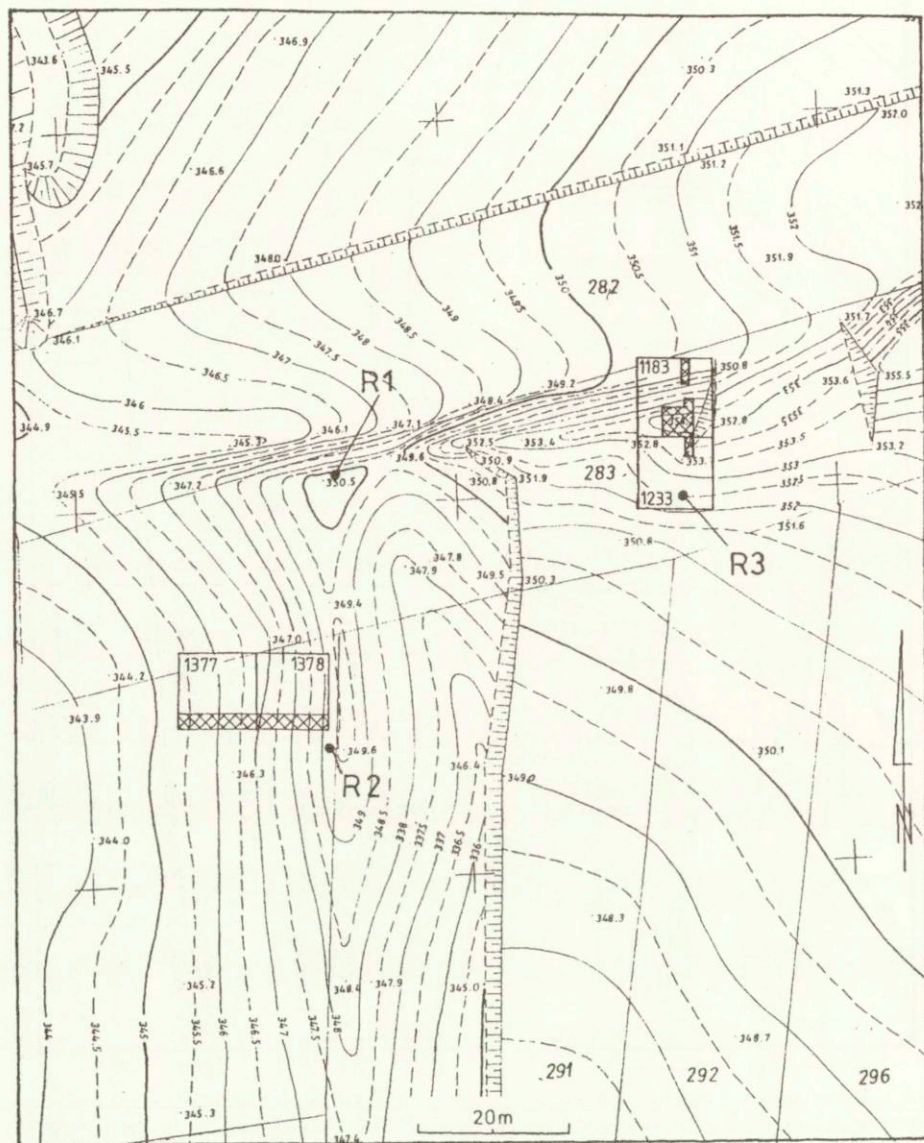
Ryc. 1. Lokalizacja stanowisk wczesnośredniowiecznych w sąsiedztwie grodziska w Stradowie: cyfry odpowiadają numerom stanowisk na arkuszu nr 96–61 AZP, cyfry w kółkach oznaczają numery stanowisk (1–4, 6) badanych w obrębie wsi Stradów (nr-y wg AZP: 152, 151, 171, 169, 166), linia kropkowana – zasięg stan. 1.

Fig. 1. Location of Early Medieval sites in the vicinity of the Stradów hillfort: numbering correspond with AZP Sheet No 96–61, encircled numbers refer to numbering of excavated sites (1–4, 6) in the area of the village of Stradów (AZP numbers: 152, 151, 171, 169, 166), dotted line – extent of Site 1.



Ryc. 2. Plan stan. 1 w Stradówie z naniesioną osnową siatki arowej, wałami (1-5) oraz tradycyjnymi nazwami poszczególnych części grodziska: *a-c* – wały (*a* – zachowane, *b* – rekonstruowane, *c* – uchwycone na podstawie analizy zdjęć lotniczych), *d* – fosy istniejące, *e* – fosy uchwycone na zdjęciach lotniczych, *f* – wykopy z 1997 r. z zaznaczonymi granicami odpowiednich arów, *c* oraz *e* wg J. Poleskiego (1996, ryc. 5); wartości poziomice – por. przypis 2.

Fig. 2. Plan of Site 1 at Stradów with basic are grill, ramparts (1-5), and traditional names of individual parts of the hillfort: *a-c* – ramparts (*a* – existing, *b* – presumable, *c* – recognized on aerial photographs), *d* – existing moats, *e* – moats recognized on aerial photographs, *f* – excavation trenches of 1997 with borders of related arcs, *c* and *e* after J. Poleski (1996, Fig. 5); contour line values – c.f. Footnote 2.



Ryc. 3. Plan północnej części stan. 1 w Stradówie z naniesionymi wykopami z 1997 r. (odcinki zasraflowane) i reperami (R1–R3); wartości poziomic – por. przypis 2.

Fig. 3. Plan of the northern part of Site 1 at Stradów with excavation trenches of 1997 (hatched) and bench marks (R1–R3); contour line values – c.f. Footnote 2.



Ryc. 4. Stradów, stan. 1, wał 2: widok od NW na wykop na wale 2 w początkowej fazie badań.
Fot. M. Grzymkowski.

Fig. 4. Stradów, Site 1, rampart 2: view from NW towards a trench in an initial phase of the excavations. Photo M. Grzymkowski.



Ryc. 5. Stradów, stan. 1, wał 3b: widok od SE na ścianę zachodnią skarpy przed eksploracją.
Fot. J. Pizło.

Fig. 5. Stradów, Site 1, rampart 3b: view from SE towards the western escarpment before the excavations. Photo J. Pizło.



Ryc. 6. Stradów, stan. 1, wał 2: widok od NW na wykop na wale 2 w trakcie badań.
Fot. A. Trafas.

Fig. 6. Stradów, Site 1, rampart 2: view from NW towards a trench on the rampart during the excavations. Photo A. Trafas.



Ryc. 7. Stradów, stan. 1, wał 3b: widok od E ściany zachodniej skarpy po przycięciu do pionu i wyeksplorowaniu spalonego trzonu wału. Fot. J. Pizło.

Fig. 7. Stradów, Site 1, rampart 3b: view from E towards the western escarpment after its plumbing and exploration of burnt rampart core. Photo J. Pizło.

realizację m.in. zadania nr 24 „*Podstawy źródłoznawcze chronologii grodziska wczesnośredniowiecznego w Stradowie, woj. Kielce – badania sondażowe i prace analityczno-weryfikacyjne*”. Nie były one wystarczające na ponowne podjęcie eksploracji potężnych umocnień grodu centralnego. Przeznaczono je natomiast na rozpoznanie niebadanych dotąd fortyfikacji podgrodzia, nie tak wysokich, częściowo przy tym zniwelowanych orką. Spodziewano się uzyskać tam źródła do bardziej precyzyjnego określenia chronologii, zarówno w postaci zabytków archeologicznych, dokładniej – niż dawniej – wykrywanych przy pomocy detektora, jak i datowań metodami dendrochronologicznymi oraz ^{14}C .

Do prac terenowych wybrano wał 2, dzielący podgrodzie na dwie części: *Mieścisko* i *Barzyńskie* oraz odcinek północny (3b) wału zewnętrznego (ryc. 2 i 3). Ten pierwszy obiekt, szer. dziś ponad 20 m i nieokreślonej wysokości (silnie rozorany), rokował nadzieję na szybkie dotarcie do jego spągowych, najstarszych warstw (ryc. 4, 6); ponadto w skarpie między polami trafiały się zwęglone reszty drewna. Drugi wał, o szer. 10 i wys. 1,3 m, nie był bardzo zniszczony dzięki pokrywającym go gęstym zaroślom (ryc. 5, 7). Rysowało się prawdopodobieństwo natrafienia tu na zachowane w pierwotnym stanie konstrukcje, częściowo widoczne jeszcze w przekroju, jaki powstał w wyniku przekopania przez wał drogi dojazdowej na pola.

Eksplorację prowadzono od 1 lipca do 16 sierpnia 1997 r.; na wale 2 kierował nią mgr Marcin Wołoszyn, na wale 3b doc. dr hab. Helena Zoll-Adamikowa¹. Wykopy wytyczono w nawiązaniu do założonej w 1958 r. siatki arów (ryc. 2 i 3), dzielonych na ćwiartki i m². Nie udało się odnaleźć reperów umieszczonych w 1956 r. w trakcie sporządzania planu hipsometrycznego przez inż. geod. Jerzego Fellmanna, a szczególnie istotnego dla lokalizacji siatki arowej reperu O = 340,38 m n.p.m.², usytuowanego w centrum majdanu grodu właściwego, w narożniku arów 2218, 2219, 2268 i 2269 (ryc. 2). Geodeta gminy Czarnocin, inż. Stefan Marzec, osadził więc jako pomocnicze repery trzy słupki betonowe w rejonie badań 1997 r. (ryc. 3). Słupkę oznaczony jako nr 1 znajduje się na wewnętrznym stoku wału 3b, na przedłużeniu między dzielącej położone na W pola Stefana Zadary i na E pola Bogusława Wolniarskiego, nr 2 na tejże między przy odkrywce na wale 2, a nr 3 w pobliżu odkrywek na wale 3b.

¹ W ekipie wykopaliskowej uczestniczyli ponadto studenci archeologii UW: Aleksandra Jachimczuk, Monika Komuda, Marcin Grzymkowski, UJ: Joanna Pizło i absolwentki I. Mianowska oraz M. Trafas-Wołoszyn, spośród mieszkańców wsi m. in. M. Galka; materiały paleozoologiczne opracowała mgr Danuta Makowicz-Poliszot (będą one omówione w następnym tomie *Sprawozdań Archeologicznych*). W czasie prac wykopaliskowych grodzisko w Stradowie odwiedzili mgr mgr B. Baczyńska, B. Burchard, I. Jordan, A. Kukułka, U. Potyrała, B. Szpunar, prof. dr hab. A. Abramowicz, doc. dr hab. P. Urbańczyk, dr dr J. Poleski, K. Tunia, mgr mgr A. Cetera, W. Gliński, A. Przychodni, A. Szpunar.

² Jest to wysokość według planów warstwicowych stan. 1, wykonanych przez inż. J. Fellmanna w 1956 r. i inż. W. Śmigiełskiego w 1984 r., na których oparto też wartości poziomic na ryc. 2 i 3. Są one wyższe o 49 m od poziomu odniesienia Kronsztadt, obowiązującego obecnie w Polsce. Ten ostatni poziom odniesienia uwzględniono natomiast na ryc. 1, sporządzonej na podstawie arkusza 163.221 mapy 1:10 000 z 1965 r.

Zabytki lokalizowano trójwymiarowo w obrębie warstwy kulturowej i mechanicznej. Wykonywano tradycyjną, barwną dokumentację rysunkową (rzuty poziome co 10 cm), fotograficzną w postaci barwnych przeźroczy i negatywów, opisową zaś w formie raportów dziennych na znormalizowanych formularzach oraz odrębnie szczegółowej charakterystyki nawarstwień, obiektów, konstrukcji. Pobrano 51 próbek węgla drzewnego do badań paleobotanicznych (por. Lityńska-Zajac 1998), 12 dużych fragmentów bierwion do badań dendrochronologicznych (por. Krapiec 1998) oraz 4 próbki węgla do analiz zawartości ^{14}C (wykonała je prof. dr hab. Anna Pazdurowa z Instytutu Fizyki Politechniki Śląskiej w Gliwicach).

*

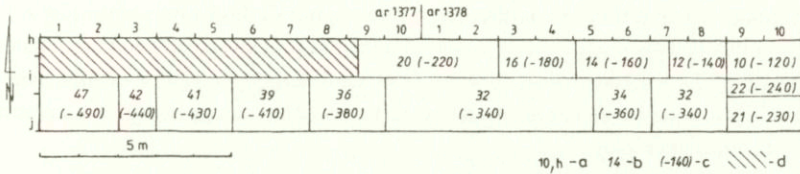
Autorzy badań, przystępując do prezentacji ich wyników składają serdeczne podziękowania wszystkim, którzy wspierali nas w trakcie ich realizacji. Poza wspomnianymi już uczestnikami ekspedycji archeologicznej, zwłaszcza J. Pizło, M. Gałką, M. Grzymkowskim, słowa szczególnej wdzięczności kierujemy do prof. dr hab. M. Parczewskiego i dr J. Poleskiego za cenne uwagi dotyczące interpretacji odkrytych nawarstwień, jak i pozyskanego materiału ceramicznego. Wiele zawdzięczamy także uwagom gleboznawcy, prof. dr hab. S. Skiby, jak i prof. dr hab. J. Kruka. Za pomoc w wykonaniu dokumentacji fotograficznej serdecznie dziękujemy dr K. Tuni oraz A. Trafasowi.

Osobne wyrazy wdzięczności należą się Panu mgr. A. Kocelowi, Kierownikowi Szkoły Podstawowej w Stradowie, z którego gościnności korzystaliśmy przez cały sezon wykopaliskowy.

II (WAŁ 2)

Wał 2 stradowskiego zespołu osadniczego rozdziela podgrodzia *Barzyńskie* i *Mieścisko*. Wyjawszy odcinek południowy biegnie on po linii N-S, przy czym teren wznosi się w kierunku północnym. Badana w 1997 zachodnia część wału 2 znajduje się na polu Stefana Zadary i wykorzystywana jest stale pod uprawę (por. ryc. 4, 6). Niebadany, wschodni skłon wału – przylegający od E do między rozdzielającej pola S. Zadary i B. Wolniarskiego – jest znacznie silniej uszkodzony, różnica poziomów pomiędzy stropem części zachodniej i wschodniej wynosi ok. 1 m.

Badania prowadzono metodą warstw mechanicznych o miąższości 10 cm (poza warstwą I dochodzącą do 20 cm), lokalizując zabytki w obrębie warstw kulturowych. Ary dzielono – zgodnie z systemem stosowanym w Stradowie w latach 1957–1963 – na ćwiartki A–D i m² o koordynatach: 1–10 po osi W–E oraz a–j po osi N–S (por. ryc. 8). Jako punkt o wys. 0,0 traktowano strop betonowego słupka (reper nr 2), zastabilizowanego przez geodetę na między rozdzielającej pole S. Zadary i B. Wolniarskiego, 2 m na SEE od SE narożnika wykopu (por. ryc. 3). Wykonano 64 rysunki kolorowe (w tym 52 rzuty poziome w skali 1:20 oraz 12 profili w skali 1:20 lub 1:10), ponad 400 kolorowych zdjęć i przeźroczy. Na dokumentację opisową składają się raporty dzienne z wykonanych czynności eksploracyjnych i dokumentacyjnych, odrębne opisy nawarstwień i obiektów.



Ryc. 8. Stradów, stan. 1, wał 2: rzut poziomy „świadków” i partii przekopanych w 1997 r.: a – oznaczenia metrów w obrębie aru, b–c – nr poziomu (b) i głębokość (c), do których doprowadzono eksplorację, d – obszar niebadany.

Fig. 8. Stradów, Site 1, rampart 2: horizontal layout of retained not-excavated sections and parts excavated in 1997: a – assignation of meters with arc, b–c – ultimate level number (b) and ultimate exploration depth (c), d – not excavated area.

Wykopaliska na wałe 2, prowadzone w obrębie południowych ćwiartek arów 1377 i 1378, objęły zachodnie zbocze i część szczytu tegoż wału (od strony podgrodzia *Mieścisko* – por. ryc. 2, 3). Pierwotnie planowano objąć badaniami powierzchnię 50 m², ostatecznie powierzchnia wykopu wyniosła 42 m². Północny, metrowej szerokości odcinek nie był eksplorowany do calca, służył jako świadek, na pozostałej części wykopu całec wszędzie osiągnięto; nie pojawiał się on na jednakowej głębokości na różnych odcinkach wykopu (por. ryc. 8)³.

Przed przystąpieniem do prezentacji badań autorzy pragną podkreślić, iż szczególnie w wypadku wału 2, wobec nieznacznego stopnia rozpoznania obiektu (posiadany profil nie obejmuje jednak jego całości) poniższe ustalenia i koncepcje mają jedynie wstępny charakter. Mamy nadzieję, iż planowane, dalsze badania pomogą je zweryfikować i doprecyzować.

W wyniku przeprowadzonych badań wyodrębniono 36 warstw kulturowych, 10 obiektów, znaleziono około 250 zabytków. Wspomniane warstwy pogrupować można w 5 kompleksów. Niestety nie udało się pobrać żadnej próbki do badań dendrochronologicznych, również pobrane próbki do badań ¹⁴C okazały się nieprzydatne (zbyt małe lub pochodziły z ob. 3, nowożytnego).

W a r s t w y I–XXV (ryc. 9–12)

I – brunatna, z domieszką barwy czarnej (najpewniej obornika), w partii spągowej widoczne ślady orki (w-wa orna).

II – gliniasta, ciemnożółta, zbudowana z drobnego, zbitego pyłu (less), bardzo płytko (druga w-wa mech.) pojawiają się pierwsze kukielki lessowe, w obrębie w-wy II zaobserwowano jeszcze 3 niewielkie plamy, smugi (w-wy III–V).

Ila – szare przebarwienia występujące w obrębie warstwy II, miejscami żelazowane. Na profilu N owe przebarwienia są liczniejsze, a także cieńsze od obserwowanych na profilu S i mają przebieg bardziej wyrównany; dopiero ich W odcinki podnoszą się ku górze. Na profilu S są one o wiele rzadsze, ale i bardziej miększe, zdecydowanie szybciej i ostrzej podnoszą się ku górze.

VI – brunatnoruda, z domieszką barwy żółtej, o strukturze plamiastej.

³ Zachowano – rzecz jasna – ciągłą numerację warstw mechanicznych, wyróżniając ich 47 (do gł. względnej 490 cm).

Vla – ciemniejsza i bardziej jednorodna kolorystycznie niż VI (brak tutaj elementów żółtych).

Warstwy VI i Vla dobrze odcinają się od nawarstwień zalegających nad i pod nimi, natomiast granica pomiędzy VI a Vla jest płynna, niewyraźna. W partii E w-wy te są dość cienkie, natomiast w miarę przesuwania się na W miąższość ich wzrasta, zachodni zasięg owych warstw jest niejasny, brak tu wyraźnej granicy⁴.

VII – brunatna, wyróżnia ją jednolitość kolorystyczna, w jej obrębie licznie występują węgle drzewne – są to kawałki zawsze małe (o śred. 2–3 cm), choć można spotkać ich dużą liczbę, nigdy nie tworzą skupień; nasycenie w-wy VII węglkami jest dość równomierne, w w-wie tej dość często występuje materiał archeologiczny. Warstwa VII jest wilgotniejsza i plastyczniejsza niż w-wy VI i Vla. W obrębie VII wyodrębniono niewielką, ciemnobrunatno-czarną strukturę (VIIa).

VIII – brunatnoszara (ciemna), warstwa ta najlepiej widoczna jest w profilu E, zaś na profilach S i N stanowi bardzo cienką, ledwie widoczną linię (o miąższości nawet 0,2–0,5 cm), rozdzielającą w-wy VII i X i przechodzącą w w-wę XVI.

IX – białawożółtawa, z plamistymi wtrętami (rudawymi, ciemnożółtymi), ziemia ta jest bardziej sypka (luźna) od sąsiednich, obserwowalna w zasadzie tylko w profilu E, gdzie ma ona kształt soczewkowaty.

X – ciemniejsza od opisanej jako VIII, w jednolitości kolorystycznej zbliżona do VII, brak w niej węglików i zabytków archeologicznych. W miarę przesuwania się na W jej miąższość wzrasta.

XI – żółta, piaszczysta, bardzo zbita, wyodrębniono jeszcze trzy podgrupy ze względów kolorystycznych (XIa–c) – calec.

XII – brunatnoszara (jaśniejsza od VIII), w obrębie tej w-wy im głębiej i im bardziej na W prowadzono eksplorację, tym więcej pojawiało się drobnych kawałków polepy oraz kamyków (w w-wie tej występuje również niewielka ilość materiału archeologicznego). Warstwy pomiędzy XII a XIII określono jako XII/XIII (kolorystycznie podobna do XIII) oraz XII/XIIIa (kolorystycznie podobna do XII).

XIII – brunatnoczarna, cechuje ją domieszka polepy. W głębszych partiach (od w-wy mechanicznej 23) zaobserwowano, iż liczba grudek polepy i zabytków archeologicznych zmniejsza się, warstwa staje się kolorystycznie bardziej jednorodna. Bardziej rozmyte, spągowe partie XIII określono jako XIIIa (widoczne głównie na profilu N).

XIV – jasnożółta, kolorystycznie identyczna z warstwą II, tworzy ona wąski pas rozdzielający XIII i XIIIa, oraz XIII i XV.

XV – brunatnożółta, jednolita kolorystycznie, w kierunku W zalega pod XIII zastępując XIV, spągowe, ciemniejsze partie w-wy XV określono jako XVa.

XVI – żółta, bardzo twarda, zbita.

XVII – pomarańczowa, ziemia ta jest bardziej sypka od w-wy XVI.

XVIII – intensywnie ciemnoszara w najwyższych partiach, gliniasta, wilgotna, natomiast im bardziej w dół i na E staje się ona coraz jaśniejsza, tak iż stanowiąc wypełnisko rowu przechodzi – bez wyraźnej granicy – w w-wę X; tę jaśniejszą część określono jako XVIIIa (żółtoszara, miejscami wyraźnie dominuje barwa szara).

⁴ Nieznany pozostał także ich wschodni zasięg, wynika to jednak z ograniczonej powierzchni wykopu.

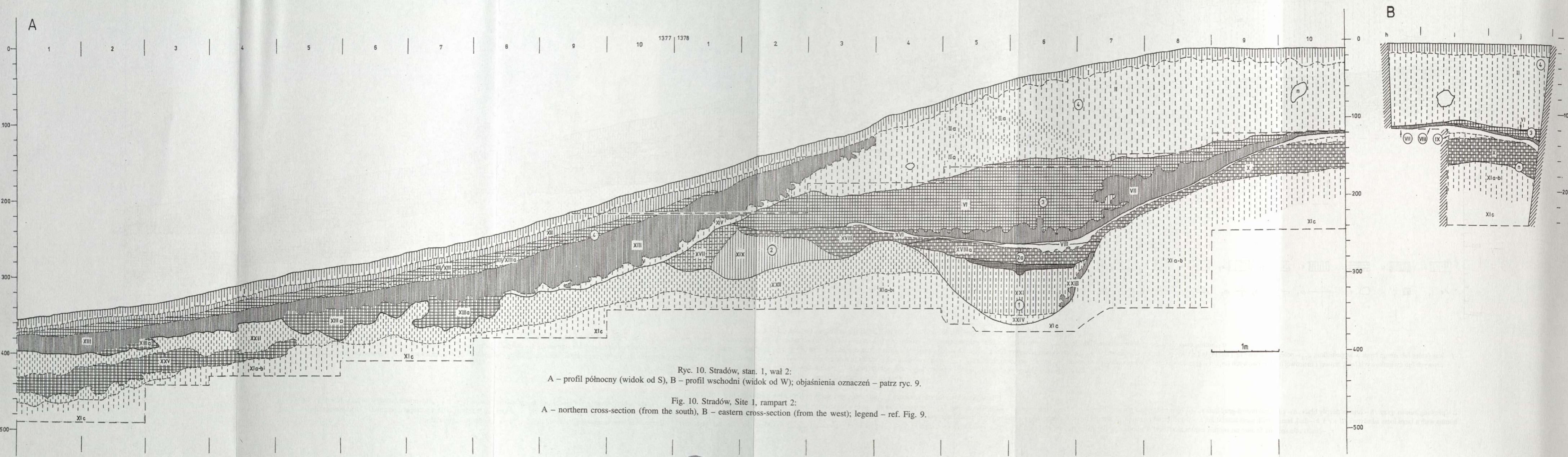


Ryc. 9. Stradów, stan. 1, wał 2: profil południowy (widok od N):

a – humus orny, darń, *b* – próchnica intensywnie czarna, *c* – próchnica szara lub szarobrunatna, *d* – próchnica z lessem albo próchnica jasnobrunatna lub jasnoszara, *e*₁ – less z próchnicą, *e*_{2,3} – less z niewielką domieszką próchnicy, *f* – less (calec lub smugi lessu w wypełniku), *g*_{1,2} – polepa: warstwa (*g*₁) lub bryły (*g*₂), *h* – próchnica szaroczarna (*b* + *c*), *i* – próchnica szarobrunatna z lessem (*c* + *d*), *j* – próchnica jasna z dużą domieszką lessu (*d* + *e*₁), *k* – próchnica ciemna z domieszką lessu, *l*₁ – drewno (przeżalone lub zbutwiałe), *l*₂ – warstwa spalenizny, *l* – kamienie, *m*_{1,3} – skrzyżowania linii pomiarowych: arowych lub ćwiartkowych (*m*₁), arowej i metrowej (*m*₂), metrowych (*m*₃), *n* – granica wykopu, *o* – linia siatki pomiarowej, *p* – granica poziomu eksploracji, *r*_{1,2} – granica obiektu lub kompleksu nawarstwień: pewna (*r*₁) lub domniemana (*r*₂), *r*₃ – granica danego obiektu na innym poziomie eksploracji lub cięciu profilowym, *s* – granica warstw, *t* – linia cięcia profilowego, *u-w* – sygnatura jednostek eksploracji: arow i ćwiartek (*u*) oraz metrów (*w*), *x* – sygnatura kompleksów nawarstwień, *y* – sygnatura warstw, *z* – warstwy zniszczone jamami gryzoni.

Fig. 9. Stradów, Site 1, rampart 2, southern cross-section (from the north):

a – plowing humus, grass, *b* – humus deeply black, *c* – gray and brown-gray humus, *d* – light brown or light gray humus, or humus with loess, *e*₁ – loess with humus, *e*_{2,3} – loess with a small humus admixture, *f* – loess (virgin soil or loess smudges in the fill), *g*_{1,2} – dabbed clay: layer (*g*₁) or pieces (*g*₂), *h* – gray-black humus (*b* + *c*), *i* – gray-brown humus with loess (*c* + *d*), *j* – light humus with a large loess admixture (*d* + *e*₁), *k* – dark humus with loess admixture, *l*₁ – wood (burnt or rotten), *l*₂ – burnt layer, *l* – stones, *m*_{1,3} – crossing of measure lines: ares or quarters of ares (*m*₁), ares and meters (*m*₂), meters (*m*₃), *n* – trench border, *o* – measure grill line, *p* – limits of exploration level, *r*_{1,2} – limits of a feature or layer complex: positive (*r*₁) and presumable (*r*₂), *r*₃ – limits of a specific feature on another exploration level or another profile cross-section, *s* – limits of layers, *t* – profile cross-section line, *u-w* – signature of exploration units: ares and quarters (*u*), and meters (*w*), *x* – signature of layer complexes, *y* – layer signature, *z* – layers destroyed by rodents.



Ryc. 10. Stradów, stan. 1, wał 2:
 A – profil północny (widok od S), B – profil wschodni (widok od W); objaśnienia oznaczeń – patrz ryc. 9.

Fig. 10. Stradów, Site 1, rampart 2:
 A – northern cross-section (from the south), B – eastern cross-section (from the west); legend – ref. Fig. 9.





a



b

Ryc. 11. Stradów, stan. 1, wał 2:

a – widok od N profilu południowego (metry 6–8 aru 1378), od góry widoczne są warstwy I, II, IIa, VI, VIa, VII, VIII, X, XI, XVI, XVIII, XVIIIa, XXI, XXIII oraz ob. 8. Fot. A. Trafas.

b – widok od S rzutu poziomego na głębokości 280 cm., na E części m 5 i m 6 aru 1378, od lewej widoczne są warstwy XI i XXI oraz obiekty 4, 5a, 5b, 6a, 6b, 7. Fot. M. Wołoszyn.

Fig. 11. Stradów, Site 1, rampart 2:

a – view from N of the southern cross-section (meters 6–8 of are 1378) with layers (from the top) I, II, IIa, VI, VIa, VII, VIII, X, XI, XVI, XVIII, XVIIIa, XXI, XXIII, and feature 8. Photo A. Trafas.

b – view from S of the horizontal layout on 280 cm, towards the eastern parts of meters 5 and 6 of are 1378, with (on the left) layers XI and XXI, and features 4, 5a, 5b, 6a, 6b, and 7. Photo M. Wołoszyn.



a



b

Ryc. 12. Stradów, stan. 1, wał 2:

a – widok od N części profilu południowego (metry 1–2 aru 1378), od góry widoczne są warstwy I, XII, XII/XIIIa, XIII, XIV, XV, XVII, XIX, XXII. Fot. A. Trafas.

b – widok od E na profil W, od góry widoczne są warstwy I, XII, XIII, XXII, XXV, XI (uwaga: metry 1–2 aru 1377 pogłębiono do gł. 490 cm już po wykonaniu niniejszego zdjęcia). Foto M. Wołoszyn.

Fig. 12. Stradów, Site 1, rampart 2:

a – view from N of a part of the southern cross-section (meters 1–2 of are 1378), with layers (from the top) I, XII, XII/XIIIa, XIII, XIV, XV, XVII, XIX, XXII. Photo A. Trafas.

b – view from E of the western cross-section, with layers (from the top) I, XII, XIII, XXII, XXV, and XI (notice: meters 1–2 of are 1377 were explored till level 490 cm after this picture had been taken).

Photo M. Wołoszyn.

XIX – grafitowoszara, cętkowana (z brunatnymi wtrętami), mokra, gliniasta, przebieg granic jest niejasny.

XX – jasna, warstwowana (namulisko).

XXI – bardzo niejednorodna kolorystycznie (cętkowana), składa się z plam o barwie brunatnej, rudej, żółtej, szarej, białej. Na profilu N w-wa ta jest bardziej piaszczysta (zwłaszcza w W partii wypełniska rowu – na profilu N).

XXII – silnie zbita, sucha, rdzawobrunatna.

XXIII – brunatnoszara (ciemna), kolorystycznie identyczna z w-wą VIII.

XXIV – beżowa, piaszkowata, bardzo podobna do calca, ale miększa od niego, jest to najniższe wypełnisko rowu, w najgłębszym jego punkcie, tj. w narożniku NW.

XXV – brunatna.

K o m p l e k s y s t r a t y g r a f i c z n e (ryc. 9–10)

K o m p l e k s 1 to grupa warstw stanowiących najgłębsze wypełnisko rowu (w-wa XXI, XXIV, zapewne także w-wa XXIII).

K o m p l e k s 2 tworzą nawarstwienia o niejasnej genezie i przeznaczeniu, najprawdopodobniej są one pozostałością ziemi wyrzucanej przy kopaniu wspomnianego rowu (w-wy XVI, XVII, XVIII, XIX, nie sposób wykluczyć, że częściowo także XIV, XV, XVa). Dolne partie warstwy XVIII mogą być ewentualnie humusem pierwotnym.

K o m p l e k s 2a został wydzielony dość mechanicznie, obejmuje przede wszystkim warstwę XVIIIa, częściowo VIII, X, XVI, XX. Są to być może warstwy, które spłynęły do rowu samoczynnie, zarówno w wypadku warstwy XVI, jak i XX najprawdopodobniej przyczyną były deszcze splukujące owe struktury z obszaru wyżej położonego (kompleks 2). Biorąc pod uwagę podobieństwo barwy warstwy XXIII i X nie można wykluczyć, iż wymieniona jako pierwsza jest częścią humusu pierwotnego, jaki znalazł się w wypełnisku rowu i jej oddzielenie od warstwy X jest umowne; podobnie może być w wypadku warstwy XVIII i XVIIIa.

K o m p l e k s 3 to nawarstwienia będące wypełniskiem górnej części rowu, a zarazem stanowiące podstawę wału widocznego dzisiaj w terenie (w-wy VI, VIa, VII, VIIa).

K o m p l e k s 4 to warstwy wiążące się z wałem dzisiaj widocznym w terenie (w-wy I, II, IIa, III, IV, V, IX, XII, XII/XIII, XII/XIIIa, XIII, XIIIa; zapewne należą tu także w-wy XIV i XV). Warstwy te stanowiły górną część widocznego dziś wału, obecnie zalegają one bądź *in situ* (w-wy II, IIa, III, IV, V), bądź też na W od szczytu wału, jako jego destrukty⁵.

Charakter calcowy mają warstwy oznaczone jako XI, XXII oraz zapewne XXV⁶. Warstwa X jest być może pozostałością humusu pierwotnego zarejestrowanego *in situ*, podobnie jak warstwa XVIIIa, dlatego też przebieg dolnej granicy k o m p l e k s u 2 traktować należy dość umownie. Wyjątkowo cienka warstwa VIII jest być może pozostałością krótkotrwałych, intensywnych deszczy (byłaby wtedy odpowiednikiem warstwy XVI), być może jednak powstała ona jako rezultat przekształceń roślinności zasypanej w czasie budowy wału, a pokrywającej humus pierwotny (tj. w-wę X).

⁵ Należy wyjaśnić, iż warstwy III i V nie są widoczne na publikowanych profilach.

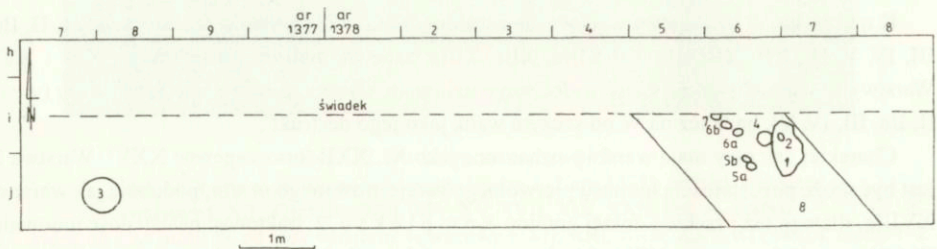
⁶ Zdaniem gleboznawcy, prof. dr hab. S. Skiby, nie jest to – niestety – w pełni jasne.

Obiekty archeologiczne (ryc. 13)

W toku kampanii wykopaliskowej wyodrębniono 14 struktur, nazwanych roboczo „elementami” archeologicznymi; tylko 10 spośród nich traktować można jako obiekty archeologiczne, por. tabela 1.

Niewątpliwie najstarszym, a zarazem sprawiającym najwięcej trudności interpretacyjnych jest obiekt nr 8. W świetle posiadanych danych wydaje się, iż jest to rów zorientowany po linii NNW–SSE, przy czym jego dno obniża się w kierunku północnym (różnica pomiędzy najgłębszym punktem przy profilu S a przy profilu N wynosi 24 cm, z tego właśnie powodu na ryc. 13 punkty przy profilu S znajdują się na gł. 280 cm, a przy profilu N na 304 cm). Warto dodać, iż dzisiaj teren, na którym ulokowano wał 2, wznosi się lekko ku N; z porównania głębokości zalegania warstw X i XI, humusu pierwotnego i calca (por. ryc. 9–10), wnosić można, iż podobnie było w momencie budowy omawianego obiektu. Szerokość rowu (mierzona na głębokości, jak na ryc. 13) wynosiła około 150 cm, jego dno jest dość płaskie (por. ryc. 13–14). Porównując zarys obiektu na profilu S i N (ryc. 9–10) stwierdzić można, iż kształt rowu nie zawsze był regularny (na profilu S krawędzie mniej strome niż na profilu N); w pełni potwierdzają to także rzuty poziome, na których przebieg warstw, będących wypełniskiem obiektu, kształtował się często nieco odmiennie na poszczególnych głębokościach. Wypełnisko rowu stanowią warstwy kompleksu 1 oraz 2a.

Obiekty 1, 2, 4–7 odkryto w górnej części wypełniska fosy, w obrębie kompleksu 2a. Wypełnisko obiektów 1, 4, 5a, 5b, 6a, 6b i 7 składało się przede wszystkim z drobnych fragmentów przepalonego drewna, polepy, wyjątkowo w obrębie ob. 1 stwierdzono także kilka drobnych kości. Warto dodać, iż kawałki polepy stwierdzono nie tylko na krawędziach owych obiektów, ale i w obrębie ich wypełniska. Cechą wszystkich tych obiektów (poza 4) był dość niewyraźny zarys zarówno w poziomie, jak i na profilach (zwłaszcza ob. 5a, 6b są na tych ostatnich praktycznie niewidoczne), ich miąższość dochodziła maksymalnie do kilku cm. Najwyraźniejszym jest obiekt 4 o śr. 19 cm i miąższości 15 cm.



Ryc. 13. Stradów, stan. 1. Lokalizacja obiektów archeologicznych w obrębie wykopu na wale 2: ob. 1, 7 – głęb. 285 cm, ob. 2 – 295 cm, ob. 3 – 320 cm, ob. 4–6 – 280 cm, ob. 8 – punkty przy profilu S – głęb. 280 cm, przy profilu N – głęb. 304 cm.

Fig. 13. Stradów, Site 1. Location of archaeological features in the excavation trench on rampart 2: feature 1, 7 – level 285 cm, feature 2 – 295 cm, feature 3 – 320 cm, features 4–6 – 280 cm, feature 8 – at the southern cross-section – level 280 cm, at the northern cross-section – 304 cm.

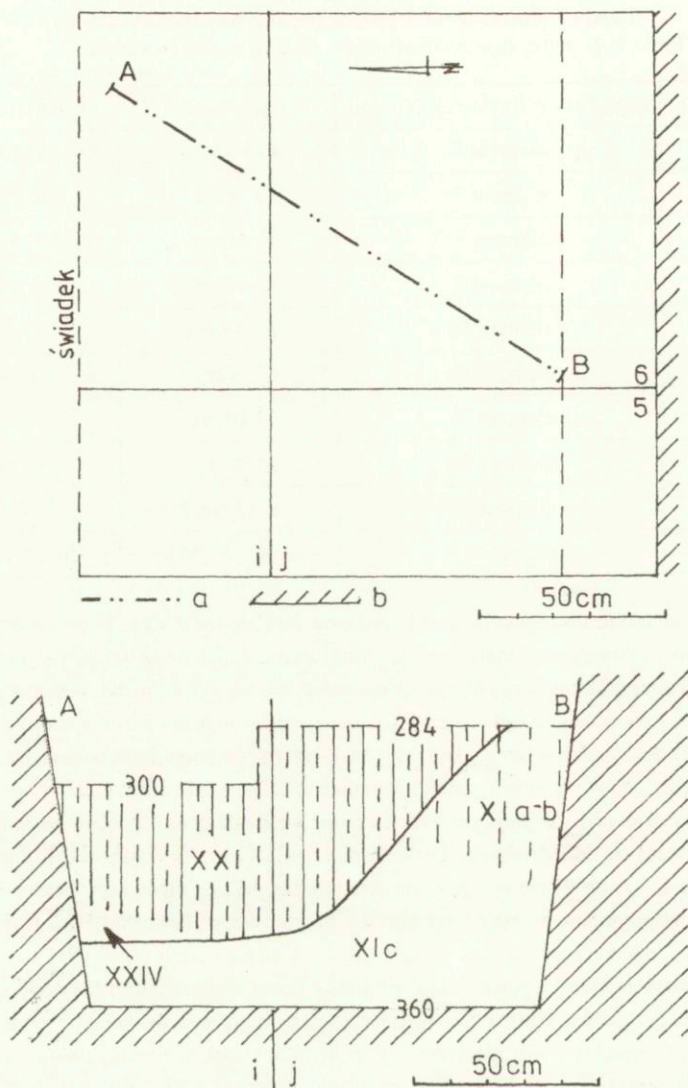
Tabela 1. Zestawienie obiektów w odkrywce na wale 2.
Table 1. Features discovered in the sounding trench in rampart 2.

numer obiektu	sygnatura w trakcie eksploracji	wymiary	grubość/miąższość
1	element 1	40 x 70 cm	do 10 cm
2	element 2	Ø 5 cm	do 10 cm
3	element 3	Ø 50 cm	3–4 cm
4	element 7	Ø 19 cm	15 cm
5a	element 8a	Ø 11 cm	5 cm
5b	element 8b	Ø 9 cm	10 cm
6a	element 9a	Ø 10 cm	10 cm
6b	element 9b	Ø 8 cm	5 cm
7	element 10 ⁷	Ø 12 cm ?	14 cm
8	element 11	szerokość 150 cm	do 90–100 cm

Interpretacja charakteru zarejestrowanych obiektów jest bardzo trudna. Bezpośrednio pod ob. 1 zaobserwowano warstwę czerwonawej, przepalanej ziemi, zapewne są to ślady ogniska. Warto jednak podkreślić nieregularny zarys owego obiektu w poziomie. W wypadku pozostałych obiektów najprostszym rozwiązaniem byłoby uznanie, iż chodzi tu o dolne partie spalonych słupków (dołki posłupowe). Rozwiązaniu temu zdaje się jednak przeczyć wspomniana niejasność konturów, fakt, iż nie rysują się one w wyższych partiach kompleksu 2a, a przede wszystkim zaś to, iż obiekty położone nieco bardziej na S znajdują się wyżej, a położone bardziej na N głębiej, w obrębie rowu, tak więc dostosowują się do jego przebiegu. Uwzględnienie kierunku obniżania się dna rowu sugeruje, iż obiekty 4–7 znalazły się w jego obrębie w momencie, gdy nie był on jeszcze całkowicie wypełniony. Jak wspomniano warstwy stanowiące najgłębsze wypełnisko rowu (kompleks 1) charakteryzują się znaczną sypkością, w sytuacji gdyby w niezasypanym (powyżej warstwy XXI) rowie chciano umieścić słupy z pewnością wybranoby i owe głębsze partie fosy, nie sadowiono zaś jakiegś, obronnej zapewne konstrukcji, na tak niepewnym gruncie. Wobec powyższego należy zastanowić się, czy obiekty 4–7b nie powstały w wyniku wypełnienia się spalonym drewnem jakichś zagłębień powstałych przypadkowo w stropie warstwy XXI. Trudno rozstrzygać, czy drewno owo pochodzi z obiektu 1, czy też z jakichś konstrukcji, które spłonęły w innym miejscu i następnie wrzucone zostały do rowu w początkowym momencie zasypywania jej warstwami kompleksu 3.

Zapewne niewielkim dołkiem posłupowym jest ob. 2, niewątpliwie starszy od ob. 1. Najprostsza jest interpretacja ob. 3. Jego średnica wynosi do 50 cm, miąższość do 3–4 cm wypełnisko stanowią węgle drzewne, znaleziono kilka fragmentów drewna silnie opalonego (gałązki jałowca – Lityńska-Zajac 1998). Bezpośrednio pod obiektem zaobserwowano warstwę przepalanej ziemi.

⁷ Obiekt ten został przebadany tylko w połowie, por. ryc. 10.



Ryc. 14. Stradów, stan. 1, wał 2. Profil ob. 8 (rowu) i jego lokalizacja w obrębie wykopu; objaśnienia oznaczeń – patrz ryc. 9.

Fig. 14. Stradów, Site 1, rampart 2. Cross-section of feature 8 (the ditch) and its location within the excavation trench; legend – c.f. Fig. 9.

Najprawdopodobniej wydaje się, iż mamy tu do czynienia z niewielkim ogniskiem. Zalegało ono w spągowej partii warstwy XIII (gł. 320 cm). Wspomniana lokalizacja obiektu w obrębie zarejestrowanego układu stratygraficznego pozwala przyjąć, iż ognisko to paliło się w momencie, gdy destrukcja wału właśnie się rozpoczęła.

Materiał zabytkowy (ryc.15–16)

W wyniku prowadzonych badań pozyskano serię ponad 250 zabytków. Wśród nich wyróżnić można kości (100 frag., nr inw. Str/Z/1–85/97), ceramikę (116 frag., nr inw. Str/1–115/97), polepę (32 frag., nr inw., Str/116–124/97), zabytki krzemienie (3 egzemplarze, nr inw. Str/125–127/97), nieokreślone zabytki metalowe (10 egz., nr inw. Str/128–134/97, Str/136–138/97), żużel (1 frag., nr inw. Str/135/97) i 1 monetę (Str/139/97).

Materiał kostny pochodzi z warstw kompleksu 3, z pewnością nie zalegających *in situ*, wobec czego ich szczegółowe rozpoznanie paleozoologiczne nie zostało przeprowadzone. Z obiektu 1 pochodzi 11 fragmentów, które stanowią materiał nie dający się bliżej oznaczyć (łaskawe ustne informacje mgr D. Makowicz-Poliszot).

Zabytki metalowe (poza monetą) – to z całą pewnością przedmioty współczesne, znalezione przede wszystkim w obrębie warstwy I, bądź też w stropowych partiach warstwy XII, tym samym nie wnoszą one nic do datowania badanego założenia.

Moneta – to emisja Augusta III Sasa z 1752 roku⁸, zabytek znaleziono w spągu warstwy XIII, może on jedynie datować początek intensywnej destrukcji wału 2.

Do materiałów prahistorycznych należą niewątpliwie 3 zabytki krzemienne⁹. Tylko w wypadku egzemplarza z warstwy X można brać pod uwagę, iż wiąże się z osadnictwem prahistorycznym funkcjonującym niegdyś w miejscu, gdzie usypano wał 2, pozostałe okazy znaleziono bez wątpienia na złożu wtórnym¹⁰.

W materiale ceramicznym zdecydowanie dominują zabytki wczesnośredniowieczne. W jednym wypadku znaleziony fragment naczynia datować można na epokę neolitu (krąg lendzielski), 1–2 na okres rzymski, o 4 ułamkach powiedzieć można ogólnie, iż są prahistoryczne. W wypadku 6 skorup mamy do czynienia z tzw. materiałem współczesnym¹¹.

Pozostałe 103 fragmenty ceramiki pochodzą z wczesnego średniowiecza (ryc. 15–16). W 64 wypadkach są to tzw. zabytki niecharakterystyczne, poza tym zarejestrowano 12 brzegów, 24 fragmenty zdobione oraz 4 denka (razem 39)¹². Najwięcej materiału wczesnośredniowiecznego dostarczyły warstwy VII (28 frag.), XII (14 frag.), XIII (26 frag.). Warto zaznaczyć, iż – poza

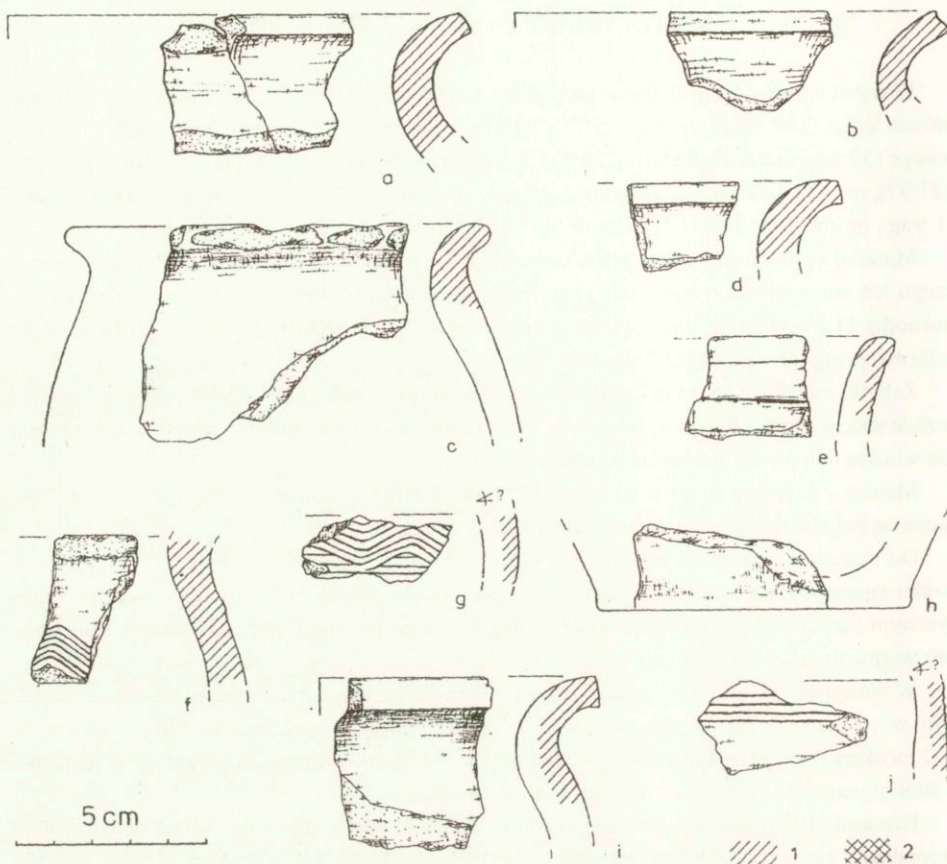
⁸ Bliższa charakterystyka monety przedstawiona zostanie w „Wiadomościach Numizmatycznych” przez M. Grzymkowskiego i M. Wołoszyna.

⁹ Str 125/97: krzemień jurajski podkrakowski, frag. wierzchołkowy wióra z rdzenia o zmiennej orientacji, retuszowany, lekko zagładzony i spatynowany na błękitno (sierpak ?), z warstwy VI; Str 126/97: krzemień prawdopodobnie czekoladowy, wiór nieretuszowany, z warstwy VII; Str 127/97: krzemień jurajski podkrakowski, odupek o krawędziowej piętce (łuszczka ?), z warstwy X. Za określenie materiału krzemienego serdecznie dziękujemy doc. dr. hab. P. Valde-Nowakowi.

¹⁰ Na terenie podgrodzia *Mieścisko*, jak i grodu właściwego, stwierdzono materiały kultury łużyckiej, wał 3b dostarczył całej serii zabytków neolitycznych, tak więc sam fakt wcześniejszego zasiedlenia stan. 1 w Stradowie nie budzi wątpiwości. Z rozpatrywanego tu punktu widzenia najważniejszym jest, iż opisywane zabytki nie mogą służyć jako datownik powstania obiektu 8 (rowu).

¹¹ Naczynia te pochodzą ze stropowych partii warstw XII, XII/XIIIa, XIII, ich obecność w żaden sposób nie poddaje więc w wątpiwość wczesnośredniowiecznej metryki założeń stradowskich.

¹² Frag. Str 34/97 to brzeg wraz z zachowanym ornamentem.



Ryc. 15. Stradów, stan. 1, wał 2. Ułamki ceramiki z warstwy VII (a-h) oraz XVIII (i-j):

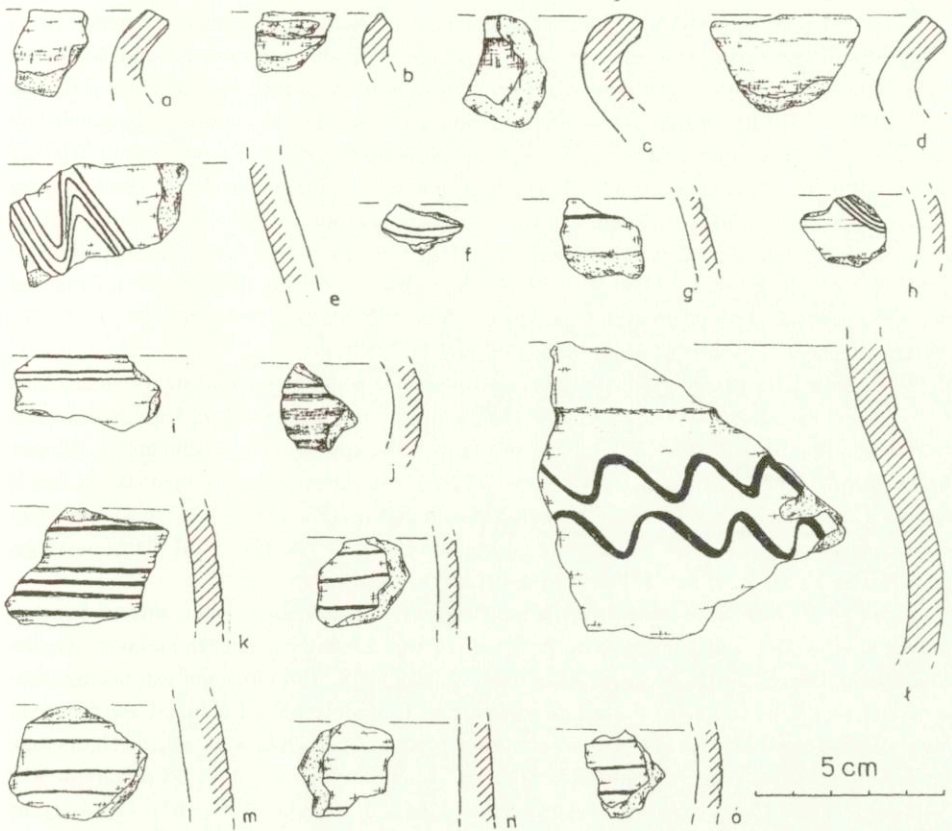
1 – obtaczane partie naczyń z gliny żelazistej, 2 – obtaczane partie okazów tzw. ceramiki białej, ? – niejasny sposób obróbki naczynia lub trudny do określenia kąt nachylenia skorupy. Rys. E. Osipowa.

Fig. 15. Stradów, Site 1, rampart 2. Pottery fragments from layers VII (a-h) and XVIII (i-j):

1 – fragments of vessels turned on a slow wheel made of ferruginous clay, 2 – fragments of the so-called white pottery made on a slow wheel, ? – pottery fragments of ambiguous technique, or fragments with unclear leaning angle. Drawn by E. Osipowa.

kilkoma wyjątkami – pozyskane ułamki naczyń mają niewielkie rozmiary, co poważnie ogranicza możliwość ich pełniejszego opisu.

Omawiany materiał w całości pochodzi z tzw. okresu plemiennego. Wyróżnić tu można zarówno formy o cechach zdecydowanie archaicznych, jak i progresywnych. Wśród tych pierwszych wymienić można brzegi z pogrubioną szyjką (ryc. 15d i 16c), czy też źle wypalone dno, z dużą domieszką tłucznia (ryc. 15h). Bardziej zaawansowane naczynia to 2 fragmenty brzegów (ryc. 15a; 16f).



Ryc. 16. Stradów, stan. 1, wał 2. Ułamki ceramiki z warstwy XII (a-b, e-h), XII/XIII (c), XII/XIIIa (i) oraz XIII (d, j-o); objaśnienia oznaczeń – patrz ryc. 15. Rys. E. Osipowa.

Fig. 16. Stradów, Site 1, rampart 2. Pottery fragments from layers XII (a, b, e-h), XII/XIII (c), XII/XIIIa (i), and XIII (d, j-o); legend – c.f. Fig. 15. Dawn by E. Osipowa.

Opisywane brzegi zaliczyć należy do brzegów prostych, grupy A, AB i B wg klasyfikacji U. Maj (1990, 16, ryc. 6)¹³, czy też do typów 1–6 wg klasyfikacji K. Radwańskiego (1968, ryc. 38); brzegi te występują najczęściej w Krakowie w wieku IX i X (Radwański 1968, 61–64, ryc. 39). Stradowskie brzegi należą do typów występujących w I fazie osadniczej wyróżnionej dla Płaskowyżu Głubczyckiego przez M. Parczewskiego (1982, 54, ryc. 7–8). Jej początki przypadają na VI/VII lub pocz. VII w., a schyłek na 2 poł. IX w., zespoły najpóźniejsze pochodzić mogą jeszcze z 1 poł. następnego stulecia (Parczewski 1982, 62).

¹³ Ewentualnie brzeg Str 19/97 (ryc. 15b) możnaby zaliczyć do grupy C (brzegi słabo rozwinięte), a brzeg Str 51/97 (ryc. 16b) do grupy G (brzegi średnio rozwinięte), por. Maj 1990, s. 16, ryc. 6. Pierwszy ze wspomnianych brzegów obecny jest jednak w Naszacowicach już w fazie I (por. Poleski 1988, ryc. 8:7–9).

Naczynia zdobiono wykorzystując na ogół narzędzia wielozębne, spotkać też można przykłady użycia narzędzia jednozębne. W pierwszym przypadku stosowane wątki zdobnicze zaliczyć należy do grup a–c, w drugim zaś (ryc. 16 *l, m-o*) do grupy e wg klasyfikacji U. Maj (1990, 17, ryc. 7). Ornament naczynia przedstawionego na ryc. 16e najbliższy jest grupie b4, na ryc. 15*f* i 16*f, h* – grupie b3, na ryc. 15*g* – grupie c4. Motyw gęstych linii poziomych zbliżony jest do grupy a3. Ornament poziomej linii falistej pojawia się już w pierwszej, nieumocnionej fazie osadnictwa w Naszacowicach, datowanej na okres od poł. (schyłku) VIII po poł. IX w. (Poleski 1994, 162, ryc. 4:2, 6, 10). Występuje on także i w następnych fazach (faza II – Poleski 1988, 169, ryc. 10:2; faza IV – Poleski 1988, ryc. 4–5; faza V – Poleski 1989, ryc. 7:5). Ornament w postaci pasm żłobków poziomych pojawia się tu w fazie II (Poleski 1988, 169, ryc. 10:1), choć występuje jeszcze i później (Poleski 1988, 171, ryc. 11:7, 12:1).

W materiałach z Płaskowyżu Głubczyckiego zdobienie poziomą linią falistą (ornament typu 1, 3, 5, por. Parczewski 1982, ryc. 11) wiąże się przede wszystkim z fazą I osadnictwa słowiańskiego (Parczewski 1982, 57). Motyw poziomych żłobków (typ 40 i pochodne 41, 42, por. Parczewski 1982, ryc. 12) pojawia się u schyłku fazy I, charakterystyczny jest jednak dla fazy II (od poł. IX do schyłku X w.) i III (od schyłku X po poł. XII w.) (Parczewski 1982, 63, 65–66, 69). Ornament na naczyniu z ryc. 16*l* zaliczyć można do typu 36 w klasyfikacji M. Parczewskiego, pochodzi on z odcinka C fazy I (Parczewski 1982, ryc. 12, 18).

Analogie do motywów stwierdzonych na opisywanych naczyniach znajdujemy także w ceramice krakowskiej; zaliczono je tu do faz I i II rozwoju zdobnictwa naczyń krakowskich, datowanych na okres od IX do pocz. XI w. (Radwański 1968, 65). Ornamentyka naczyń stradowskich wykazuje też podobieństwa do naczyń fazy C osadnictwa w Lublinie-Czwartku (por. Hoczyk-Siwkowska 1979, ryc. 14–17). Wobec braku pewnych datowników określenie chronologii tej fazy natrafia na znaczne trudności; Autorka badań datuje ją na okres od przełomu VII/VIII w. do I poł. IX w. (Hoczyk-Siwkowska 1979, 220), a J. Poleski (1994, 162) – ogólniej, na okres przed początkiem wieku X (por. też Poleski 1992, 70–72).

Podsumowując powyższe uwagi przyjąć można, iż ceramika pozyskana w czasie wykopalisk na wale 2 w Stradowie datowana może być ramowo na okres VIII–X w., najpewniej na wiek IX i X. Należy dodać, iż nie udało się dokonać rozróżnienia chronologicznego pomiędzy materiałem z różnych warstw.

Próba interpretacji zarejestrowanych nawarstwień

Niewątpliwie najstarszym obiektem stwierdzonym w obrębie wykopu na wale 2 jest rów (ob. 8), zorientowany wzdłuż linii NNW–SSE, a więc odmiennie od dzisiejszego wału (przebiegającego wzdłuż linii N–S). W dolnej części jego wypełnika nie zarejestrowano żadnych zabytków archeologicznych, dlatego datowanie powstania rowu, jak i określenie jego funkcji jest bardzo trudne. Jeżeli przyjmiemy, iż warstwy kompleksu 2 powstały na skutek wybierania ziemi z ob. 8 to powinny one posiadać podobną chronologię. Warstwa XVIII dostarczyła niewielkiej ilości skorup (por. ryc. 15*i–j*), ich datowanie na okres plemienny wyznacza *terminus circa* lub *post quem* budowy rowu, koncepcję tę potwierdzają także obserwacje dotyczące charakteru najstarszego wypełnika ob. 8 (por. niżej).

Podobną do rowu orientację posiadają warstwy tworzące kompleks 2. Wspomniana już niezgodność ich przebiegu z orientacją wału 2 wyklucza interpretację, iż struktury te powstały

w związku z budową widocznych dzisiaj umocnień. Z tego właśnie powodu odrzucić należy możliwość, iż obiekt 8 oraz warstwy tworzące kompleks 2 powstały jako swego rodzaju wał oporowy, przeciwstok, celem łatwiejszego usypania wału dziś widocznego w terenie¹⁴. Na obecnym etapie badań trudno rozstrzygać, w jakim celu wykopano rów oznaczony jako ob. 8. Decydującym dla interpretacji tego obiektu byłoby rozkopanie partii podgrodzia *Mieścisko*, gdzie powinien się on kontynuować¹⁵. Prawdopodobnym jest, iż powstał on również z myślą o budowie w tym miejscu wału ziemnego, ale o odmiennej orientacji od dziś widocznego. W tym wypadku mógł on być zamierzony jako wspomniany przeciwstok, bądź raczej rów odwadniający, usytuowany po wewnętrznej stronie zamierzonych umocnień, mający za zadanie zbieranie wody deszczowej czy pochodzącej z roztopów. Analogią mogą być tutaj obiekty w Naszacowicach: 30 (Poleski 1988, 159, ryc. 14B, a zwłaszcza 15B), 42 (Poleski 1989, 146, ryc. 1 i 2) oraz Xa (Poleski 1995, 62–63, ryc. 2, 3A i 3B). Szczególnie interesującym jest ostatnio wspomniany obiekt, w wypadku którego 35–40 cm nad dnem natrafiono na 2–3 cm warstwę gliny, przesyconą węglami drzewnymi. Zalegająca bezpośrednio pod nią warstwa przepalanej gliny pozwala sądzić, iż mamy tu do czynienia bądź ze śladem palonego w rowie ogniska, bądź też, iż wspomniane węgle są pozostałością jakiejś drewnianej konstrukcji, funkcjonującej poza rowem, która płonąć wpadła do obiektu Xa dopalając się w tymże (Poleski 1995, 63)¹⁶.

Niewielki stopień rozpoznania obiektu powoduje, iż niesposób jednak wykluczyć, iż opiswany rów miał znajdować się po zewnętrznej stronie zamierzonych umocnień, pełniłby wówczas rolę fosy¹⁷.

Jak wspomniano, pewnych przesłanek umożliwiających datowanie ob. 8 dostarczyć może charakter wypełniska jego dolnej części (k o m p l e k s 1). Warstwy te posiadają dość jednorodną, s y p k ą strukturę i stosunkowo jasną barwę. W ich obrębie nie można wyróżnić żadnych warstw o charakterze namuliskowym. Z uwagi na wspomnianą barwę wykluczyć można przypuszczenie, iż mamy tu do czynienia z humusem pierwotnym, który w naturalny sposób zsunął się do rowu w trakcie jego zapelniania się (za wyjątkiem ciemniejszej warstwy XXIII). Wobec powyższego przyjąć można, iż zapelnienie się omawianego obiektu nastąpiło po bardzo krót-

¹⁴ Tego rodzaju konstrukcję stwierdzono m.in. w Zawadzie koło Tarnowa (por. Cetera, Okoński 1994, 298, ryc. 11). Na przedstawiony problem zwrócił nam uwagę mgr J. Okoński, za co składamy serdeczne podziękowania.

¹⁵ Należy zaznaczyć, iż na publikowanych przez J. Poleskiego wynikach analizy wykonanych przez niego zdjęć lotniczych brak w interesującym nas miejscu śladu owego rowu (Poleski 1996, ryc. 5).

¹⁶ Warto w tym miejscu wspomnieć o obiektach spod wału grodu właściwego w Stradowie. Z wałem fazy I wiąże się zagłębienie (w-wa 0), na którego dnie natrafiono na warstwę przesyconą węglami drzewnymi (Tyniec-Kępińska 1996, 37, ryc. 4 i 7), z wałem fazy II wiąże się obiekt 5/W (Tyniec-Kępińska 1996, 37, ryc. 4). Wobec braków w dokumentacji starszych badań, niesposób jednoznacznie określić funkcji wspomnianych obiektów (w pierwszym wypadku liczyć się należy z możliwością, iż jest to pozostałość zabudowy przywałowej, por. Tyniec-Kępińska 1996, 37). Przykładu rowu znajdującego się po wewnętrznej stronie wału dostarczyły także wykopaliska w Vorwerk, Kr. Demmin (Herrmann 1969, 192, ryc. 2).

¹⁷ Przykłady fos zasypanych w związku z rozbudową fortyfikacji dostarczyły grodziska w Zieckau, Riedebeck, Kasel-Golzig, Alt-Golssen, wszystkie Lkr. Dahme-Spreewald (Hennig 1998, 15, ryc. 3; 15, ryc. 4; 15–16, ryc. 5; 23, ryc. 11).

kim okresie jego użytkowania (nieuchwytnym archeologicznie) i to na skutek ś w i a d o m e j, j e d n o r a z o w e j akcji człowieka (nie zaś wieloletniego zamulania).

Wspomniana wyżej sypkosć, luźność warstw XXI i XXIV wskazuje, iż w krótkim czasie po ich znalezieniu się w obiekcie nr 8 zostały one przykryte grubym płaszczem ziemi, odcinającym je od dalszej działalności sił przyrody, które w normalnych warunkach prowadziłyby do zmiany ich konsystencji na bardziej zbitą. W tej sytuacji przyjąć możemy, iż rów zasypany został od razu w całości, tzn. nie tylko do poziomu stropu warstwy XXI, lecz także wyżej, po warstwy VI i VIa.

Przypuszczenie, iż warstwy VI, VIa, VII, VIIa znalazły się w swym obecnym położeniu wskutek celowych działań człowieka, a nie w wyniku procesów przyrodniczych, opiera się na kilku przesłankach. 1° W ich obrębie brak jest warstewek namuliskowych (w typie warstwy XX), 2° porównując profil N i S stwierdzamy, iż warstwy te posiadają różną miąższość, 3° warstwa VII zalega stosunkowo cienką smugą także pod warstwą VI (na metrach 5, 4 aru 1378, por. ryc. 9), 4° strop warstw VI i VIa tworzy stosunkowo równą powierzchnię (wysokość bezwzględna W i E partii owych warstw jest dość zbieżna¹⁸). Wydaje się więc, iż warstwy VI, VIa, VII, VIIa zostały narzucone w taki sposób, by nie tylko zasypać rów, lecz także by stworzyć płaską podstawę dla dalszej konstrukcji.

Niemożność wyróżnienia w obrębie owych nawarstwień poziomu użytkowego (tzw. *Treppenhorizont*) sugeruje, iż bezpośrednio na tak przygotowaną podstawę zaczęto sypać warstwę określoną jako II i dalej kolejne warstwy wyodrębnione jako k o m p l e k s 4. Rzecz jasna dzisiejszy układ warstw XII, XII/XIII, XII/XIIIa, XIII, XIIIa jest odwrócony w stosunku do ich pierwotnego układu w niezniszczonym wale.

Jak wspomniano, właśnie w obrębie warstw VI i VIa, a zwłaszcza VII oraz XIII koncentruje się pozyskany w toku kampanii wykopaliskowej wczesnośredniowieczny materiał ceramiczny. Cechą łączącą zwłaszcza warstwę VII i XIII jest ich intensywnie ciemny (czarny) kolor, obecność polepy (ta ostatnia szczególnie w warstwie XIII). W wypadku ostatnio wspomnianej warstwy zwłaszcza kawałki polepy traktować możnaby jako związane z okresem destrukcji (pożaru) wału. Niejasna byłaby wtedy interpretacja ceramiki pochodzącej z warstw kompleksu 4. Biorąc pod uwagę stwierdzoną niemożność rozdzielenia chronologicznego ceramiki z kompleksów 3 i 4 należy zastanowić się, czy materiał ceramiczny z obu struktur nie pochodzi z okresu sprzed budowy wału? Można przyjąć, iż ziemia tworząca owe kompleksy dostała się tu ze zniszczonej/spalonej osady (zebraną przy odnowie wsi ziemię wykorzystano przy budowie wału). Przy tego typu hipotezie łatwo wytłumaczyć charakter obiektów 1, 4–7. Wobec braku materiału do analiz dendrochronologicznych jedynym sposobem udowodnienia współczesności materiału z kompleksów 3 i 4 byłoby stwierdzenie wyklejania się skorup z tworzących je warstw, niestety przeprowadzona pod tym kątem analiza porównawcza pozyskanego materiału nie przyniosła pozytywnych rezultatów¹⁹.

¹⁸ Warto przypomnieć, iż teren generalnie opada na W; biorąc pod uwagę wysokość zalegania warstw określonych jako calcowe można przyjąć, iż taki układ terenu istniał już w czasie budowy wału.

¹⁹ Autorzy mają świadomość, iż najsłabszym punktem prezentowanej koncepcji jest trudność wyjaśnienia, dlaczego część ziemi pochodzącej ze zniszczonej (spalonej) osady znalazła się w obrębie kompleksu 3 (warstwa VII), a część tworzyła (zapewne stropowe) partie kompleksu 4 (warstwa XIII).

Podsumowanie wyników badań na wale 2

W rezultacie przeprowadzonych badań przyjąć można istnienie 3 faz (I–III) użytkowania interesującego nas obszaru. Dwie pierwsze wiążą się z okresem wczesnośredniowiecznym, z jego fazą plemienną.

W pierwszej wybudowano obiekt o nr 8 (rów). Zapewne wynikiem wybierania ziemi w związku z jego budową jest kompleks warstw wyróżniony jako 2. Na obecnym etapie badań trudno rozstrzygać, jaki był cel powstania owych struktur? Wydaje się jednak pewnym, iż bądź owa gotowa konstrukcja nie funkcjonowała zbyt długo, bądź też raczej budowa jakiegoś systemu została przerwana i następnie wykorzystana do budowy wału dziś widocznego. Istotnym jest, iż owe konstrukcje fazy I powstawały bez związku z budową dzisiejszego wału 2. Tylko zmianą koncepcji wykorzystania owego miejsca wytłumaczyć bowiem można odmienną orientację z jednej strony rowu (kierunek NNW–SSE), z drugiej zaś wału 2 (po osi N–S).

Na fazę II przypada funkcjonowanie obecnego wału 2. Jak wspomniano pozyskany materiał ceramiczny pochodzi z VIII (?), IX, X wieku. Jeżeli przyjąć zaproponowaną interpretację układu stratygraficznego, to materiał ten stanowi tylko *terminus post quem* dla czasu funkcjonowania wału. Fakt, iż w obrębie warstw kompleksu 4 nie stwierdzono materiału wczesnopiastowskiego wskazuje, że także powstanie wału nr 2 przypada na młodszą fazę okresu plemiennego.

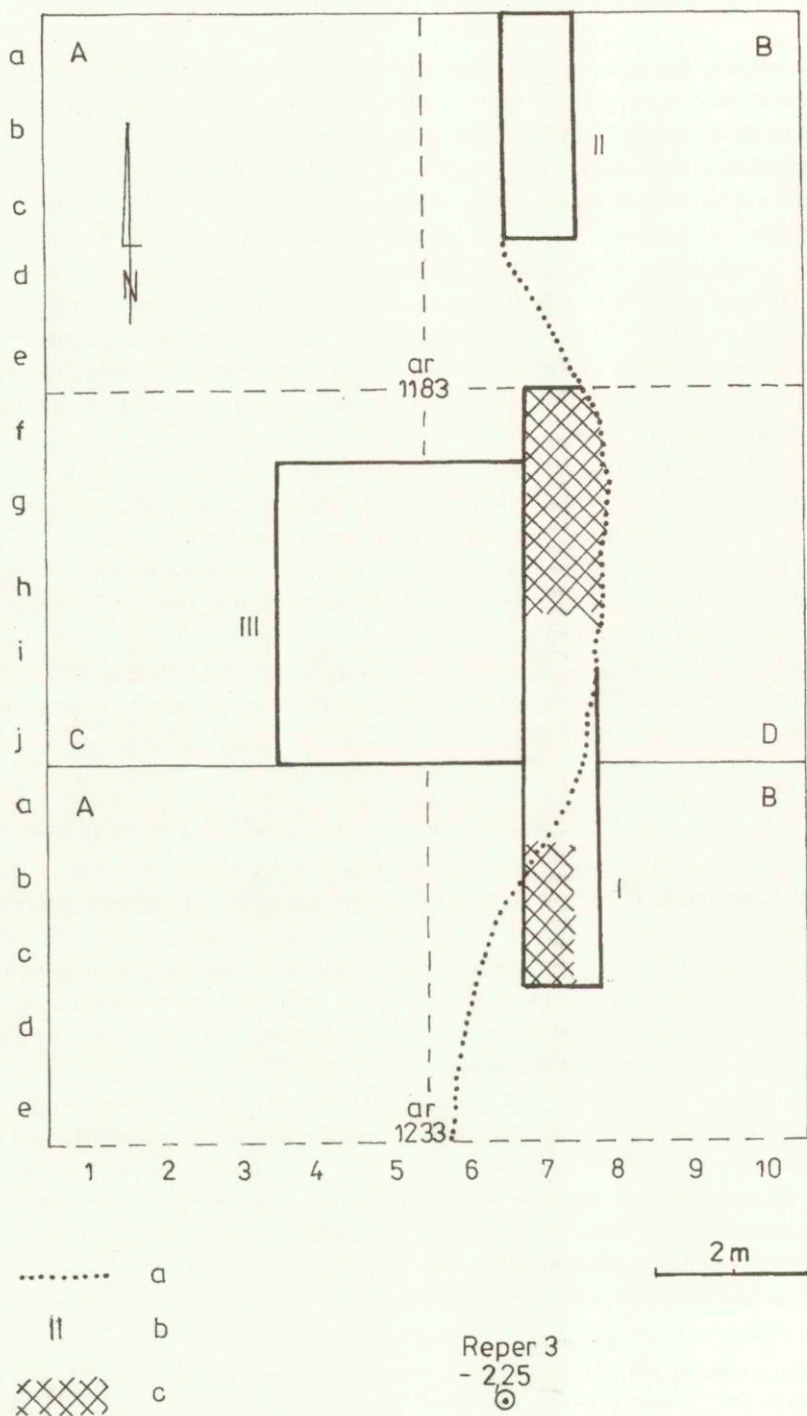
Z fazą III wiąże się obiekt 3, tj. niewielkie ognisko. Kontekst stratygraficzny, w jakim je znaleziono, wskazuje, iż funkcjonowało ono w momencie zaczynającej się destrukcji wału, moment ten trudno bliżej określić²⁰.

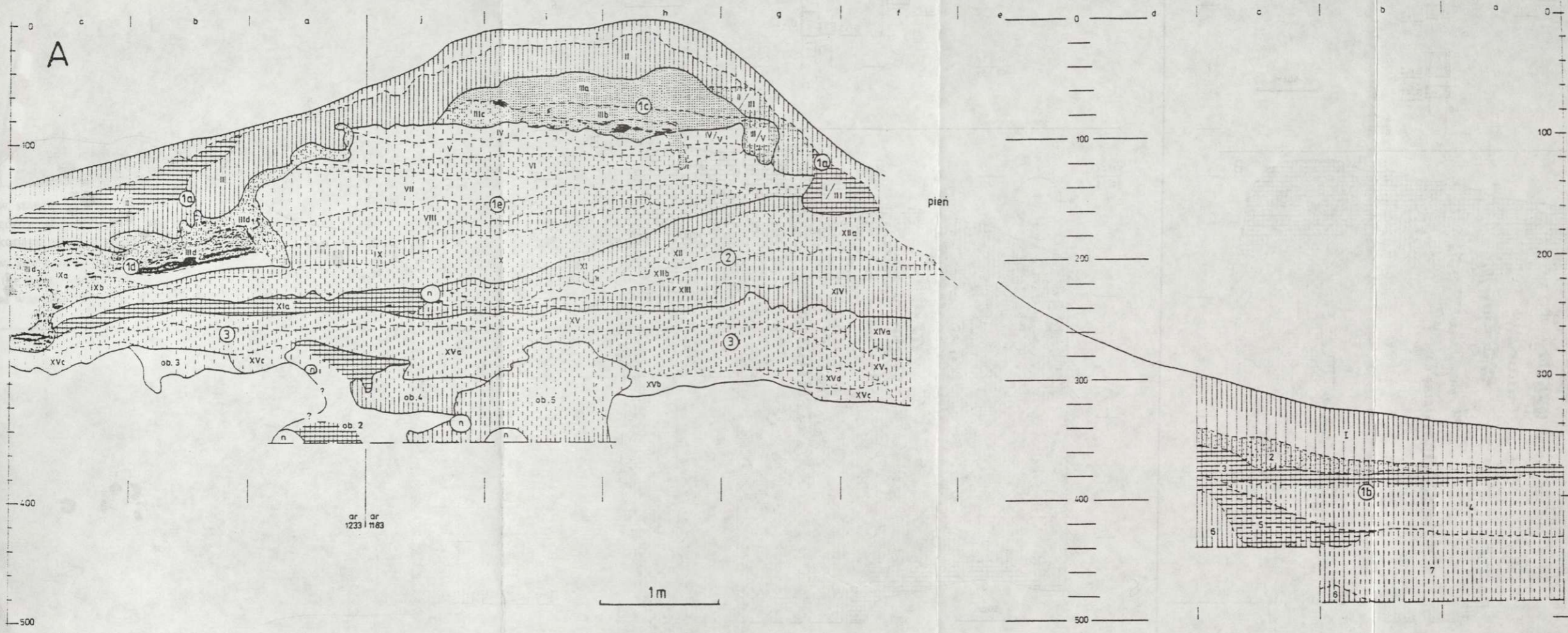
III (wał 3b)

Wałem 3 nazwano zewnętrzne obwałowania grodziska. Są one dobrze zachowane w partiach porośniętych gęstymi zaroślami i drzewami liściastymi, natomiast tam, gdzie wykarczowano drzewa i teren częściowo wzięto pod uprawę, są one silnie zniwelowane (szczególnie wał 3a – por. ryc. 2). Wałem 3b określono północny odcinek tych zewnętrznych fortyfikacji; jego część na przestrzeni ok. 20 m, w odległości 40 m na E od połączenia z wałem 2, została rozniesiona przez poprzedniego właściciela gruntu w celu przeprowadzenia dojazdu na pola (ryc. 3). Żadna partia umocnień zewnętrznych nie była dotąd badana.

Do eksploracji w 1997 r. wybrano zachowaną część wału 3b na W od zniszczonego przez rolnika odcinka (ryc. 5). Obecne wymiary nasypu wynoszą: szer. ok. 10 m, wys. 1,3–1,4 m od poziomu gruntu, a 3,5 m od stropu wypełniska fosy. Wykop usytuowano w ramach siatki arowej założonej dla stan. 1 w 1958 r., w obrębie arów 1183 i 1233 (ryc. 3). Dla ustabilizowania pomiarów osadzono betonowy reper (nr 3) na między rozgraniczającej pola Stefana Zadary (na E) i Jana Pisanego (na W), w odległości 8,56 m na S od granicy arów 1183 i 1233 (ryc. 17). Jako punkt 0 dla pomiarów głębokościowych przyjęto szczyt wału w miejscu skarpy, położony 2,25 m

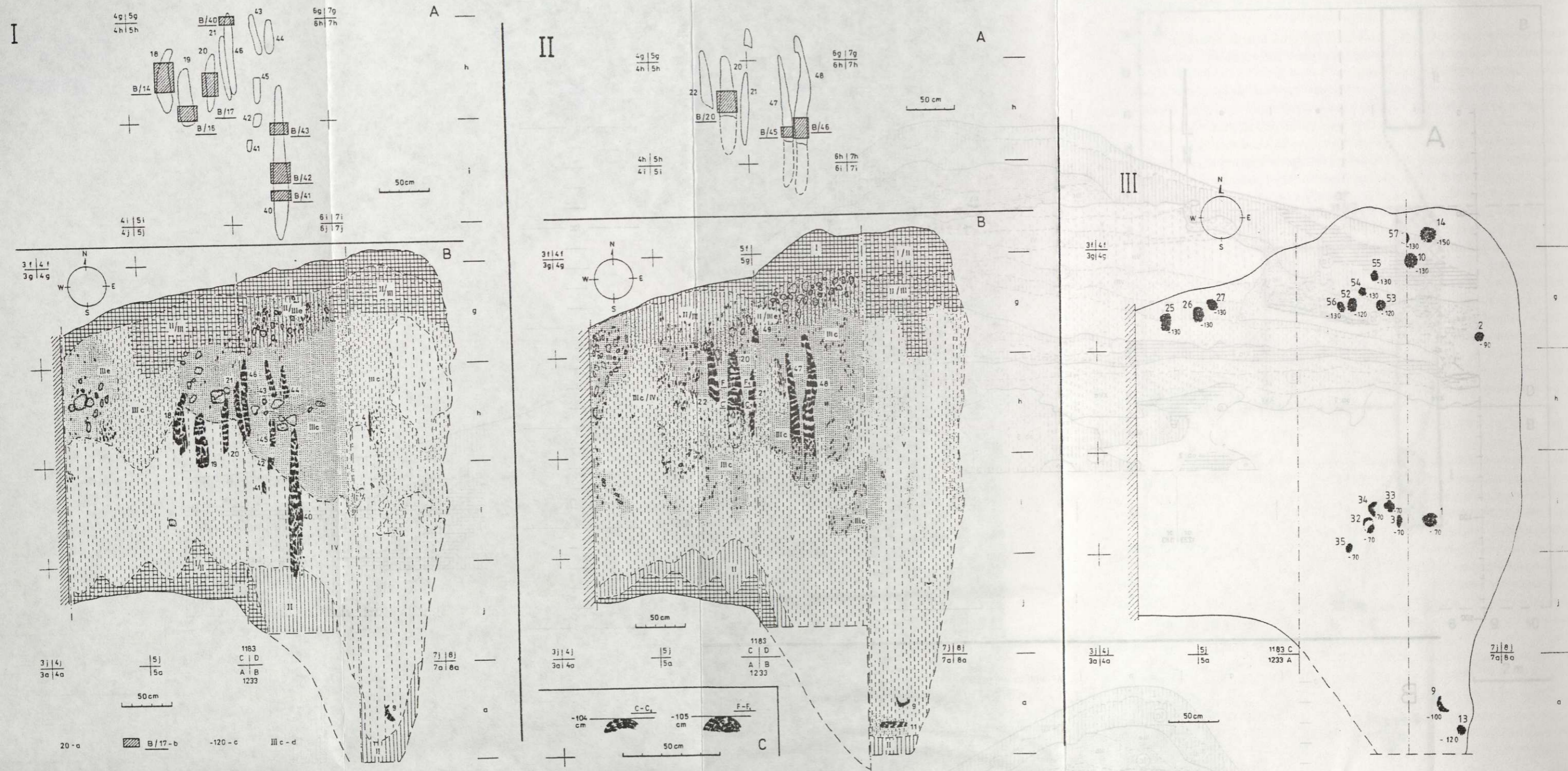
²⁰ W spągu warstwy XIII znaleziono również wspomnianą monetę Augusta III. Można ewentualnie przyjmować, iż początek intensywnej destrukcji wału zaczyna się właśnie w tym czasie.





Ryc. 18. Stradów, stan. 1, wał 3b.
 A – przycięty do pionu profil zachodni (widok od E) tzw. skarpy W zniszczonego odcinka wału, B – profil
 wschodni metra 5; objaśnienia oznaczeń – patrz ryc. 9.

Fig. 18. Stradów, Site 1, rampart 3b.
 A – plumbd western cross-section (viewed from E) of the so-called western escarpment of the ruined section of the
 rampart, B – eastern cross-section of meter 5; legend – c.f. Fig. 9.



Ryc. 19. Stradów, stan. 1, wał 3b. Rzuty poziome konstrukcji drewnianych wału II fazy:

a - nr-y elementów drewnianych, b - nr-y i miejsca pobrania próbek do badań dendrochronologicznych, c - głębokości poniżej p. 0, d - sygnatura warstw; inne oznaczenia - patrz ryc. 9.

Fig. 19. Stradów, Site 1, rampart 3b. Horizontal layout of wooden construction of the rampart in its 2nd phase:

a - nos. of wooden elements, b - nos. and location of dendrochronological samples, c - depth of exploration levels below level 0, d - signature of layers; other symbols - c.f. Fig. 9.





Ryc. 20. Stradów, stan. 1, wał 3b: widok od E na część profilu ściany zachodniej z warstwą III d wypełniającą górny „stopień” u wewnętrznych podnóży wału II fazy (głęb. 200 cm); zdjęcie wykonane, gdy nie eksplorowano jeszcze m 7c. Fot. H. Zoll-Adamikowa.

Fig. 20. Stradów, Site 1, rampart 3b: view from E towards a part of the western wall, with layer III d filling the upper “step” at the inner foot of the rampart of phase II (level 200 cm); the picture was taken before meter 7c had been explored. Photo H. Zoll-Adamikowa.



Ryc. 21. Stradów, stan. 1, wał 3b: widok od SSW na drugi pokład konstrukcji drewnianych (od prawej elementy: 21, 20, 22 i spąg 18 z pokładu pierwszego). Fot. H. Zoll-Adamikowa.

Fig. 21. Stradów, Site 1, rampart 3b: view from SSW towards the second bed of the wooden construction (from right elements: 21, 20, 22, and bottom 18 of the first bed).

Photo H. Zoll-Adamikowa.



Ryc. 22. Stradów, stan. 1, wał 3b: widok od SSW na przekrój elementu 20 po pobraniu próbek dla analiz dendrochronologicznych. Fot. H. Zoll-Adamikowa.

Fig. 22. Stradów, Site 1, rampart 3b: view from SSW of the cross-section of element 20, after dendrochronological samples were obtained. Photo H. Zoll-Adamikowa.



Ryc. 23. Stradów, stan. 1, wał 3b: widok od N na elementy pionowe na północnym, zewnętrznym obrzeżu trzonu konstrukcji (od lewej elementy: 27, 26 i 25).

Fot. H. Zoll-Adamikowa.

Fig. 23. Stradów, Site 1, rampart 3b: view from N of the vertical elements in the northern outer border of the construction core (from left elements: 27, 26, and 25). Photo H. Zoll-Adamikowa.

powyżej powierzchni reperu 3. Ary dzielono – zgodnie z systemem stosowanym w Stradowie w latach 1957–1963 – na ćwiartki A–D i m² o koordynatach: 1–10 po osi W–E oraz a–j po osi N–S (ryc. 17).

Pierwotnie zamierzano ograniczyć sondaż w tym rejonie tylko do wyrównania do pionu po osi N–S skarpy wału, jaka powstała na W od zniszczonej jego partii i ewentualnie (plan maksimum) przedłużenie tego cięcia ku północy, na teren fosy. Efektem tego wykopu miało być uzyskanie pełnego profilu wału i warstw poprzedzających jego budowę (ryc. 17, odkrywka I) oraz – w miarę możliwości – osiągnięcie dna fosy i rozpoznanie charakteru jej wypełniska (ryc. 17, odkrywka II). Gdy okazało się, że wierzchołkowa część wału zawiera przepalone bierwiona, postanowiono poszerzyć wykop ku W, na niezniszczony jego trzon, celem zbadania układu konstrukcji drewnianych i pobrania z nich jak największej liczby próbek do analiz dendrochronologicznych (ryc. 17, odkrywka III). Eksploracja na wale 3b prowadzona była więc w obrębie trzech odkrywek:

I – przy samej skarpie, wykop dług. 8 m i szer. od 0 u góry do 1 m u dołu (ryc. 7, 18A), osiągnięto głęb. 3,5 m od szczytu wału i odkryto calec (wyjąwszy wąski pas przy ścianie E i pod obiektami 2 oraz 5, które to partie nakryto folią i zasypano);

II – w fosie wału, na przedłużeniu odkrywki I, dług. 3 i szer. 1 m; ze względu na wymogi bezpieczeństwa i brak możliwości poszerzenia odkrywki, eksplorację przzerwano na głęb. 1,90 m od powierzchni, nie osiągając calca (ryc. 18A);

III – na górnej części wału, na W od skarpy, dług. 4 i szer. 3,5 m; ponieważ plan zakładał tylko eksplorację warstw z II fazy wału, do głęb. 1,30 i 1,60 m (ryc. 18B), nie przebadane partie wału I fazy i osady neolitycznej nakryto folią i po zasypaniu pozostawiono w charakterze „świadków”.

Odkrywki I oraz II eksplorowano metodą warstwek mechanicznych 10 cm miąższości, lokalizując zabytki w obrębie warstw kulturowych; odkrywkę III badano zdejmując plastycznie kolejne warstwy kulturowe. Sporządzono 34 kolorowe rysunki polowe w skali 1:20 (niektóre przekroje w skali 1:10), a to 4 profile i 30 rzutów poziomych. Wykonano ponad 200 kolorowych zdjęć fotograficznych: negatywów i przeźroczy. Na dokumentację opisową składają się raporty dzienne z wykonanych czynności eksploracyjnych i dokumentacyjnych, odrębne opisy nawarstwień, obiektów i odkrytych elementów drewnianych konstrukcji. Inwentarz zabytków obejmuje 115 pozycji artefaktów (nr Str/140–254/97), 36 pozycji kości zwierzęcych (nr Str/Z/86–121/97), 36 próbek węgla (w tym 12 do badań dendrochronologicznych) i 5 próbek gleboznawczych.

Profil pełny (od szczytu wału do calca) wykazał istnienie 26 warstw i 5 obiektów kulturowych, zaś zaś profil niepełny (w fosie) – 7 warstw zasypiskowych (ryc. 18A–B) i poniższy opis nawarstwień). Wyróżniono 3 kompleksy stratygraficzno-chronologiczne i zarejestrowano 57 elementów drewnianych konstrukcji wału.

Ryc. 17. Stradów, stan. 1, wał 3b. Plan odkrywek badanych w 1997 r.:

a – linia tzw. skarpy, obryw wału na granicy części zniszczonej i zachowanej, *b* – nr-y odkrywek, *c* – teren przebadany do calca.

Fig. 17. Stradów, Site 1, rampart 3b. Plan of the area excavated in 1997:

a – line of the so-called escarpment, ruined part of the rampart, on the border between survived and destroyed section, *b* – numbers of excavation units, *c* – area excavated to the virgin soil.

W a r s t w y I–XVc (ryc. 18A–B)

I – sypka, czarna próchnica i podglebie współczesne ze ściółką i korzeniami z zarośli.

II – spoista brunatna glina, miejscami przerośnięta korzeniami z zarośli; pod w-wą I.

II/III – na zewnętrznych stokach wału, brunatna glina przemieszana z rdzawo-pomarańczową polepą; pod w-wą I.

IIIa–c, e – pokłady przepalanej gliny barwy rdzawopomarańczowej, z dużą ilością zwęglonych bierwion leżących poprzecznie do kierunku wału (głównie w warstwie IIIc – ryc. 19, 21–23); w stropie bardziej spoiste IIIa i IIIb, w spągu gruzelkowata IIIc, miejscami polepa sceglona w wielkie bryły – IIIe; pod w-wą II.

III d – pokłady rdzawej polepy i sprasowanego węgla drzewnego (szczególnie w spągu) u wewnętrznych podnóży wału (ryc. 20, 24A–B). Stanowią one albo ślad dodatkowej konstrukcji wału II fazy od wnętrza, albo destrukta warstw III osunięty z górnego trzonu; przecina w-wy VII–IX, pod w-wą II. Warstwa ta nie była jednolita. Wyodrębniono w niej trzy różniące się zawartością i układem stratygraficznym człony: III d₁, III d₂ i III d₃. Ten pierwszy, określany jako III d „obrzeże”, zawierał mniej intensywne ślady spalenizy, przemieszane z nieprzepaloną gliną. Opadał on od N ku S już od poziomu warstwy V, jeszcze nad właściwym „stopniem” (ryc. 18A), w zagłębieniu natomiast wypełniał przestrzeń między wyraźnie przeciętymi warstwami VII–IX a warstwą III d₂, utworzoną wyłącznie z polepy i przepalonego drewna. Warstwa III d₃, określana jako „zmywy”, zawierała więcej nieprzepalonej gliny niż III d₁ i opadała od warstwy III d₂ ku S.

IV – zbita, białawobeżowa glina, pod w-wą III.

V – zbita jasnobrunatna glina, pod w-wą IV.

VI – zbita jasnoszaro-brunatna glina z cętkami szarymi, pod w-wą V.

VII – bardzo zbity pokład jasnobeżowo-kremowej gliny, pod w-wą VI.

VIII – średnio spoista, niejednolita glina ciemnobrunatno-rdzawa, plamiasta; pod w-wą VII, opada od N ku S.

IX – średnio spoista szarobrunatna glina, pod w-wą VIII, opada od N ku S.

IXa – miękka, jednolita kremowa glina, pod w-wą III d.

IXb – u wewnętrznych podnóży wału, szarobrunatna glina z dużą ilością kawałków węgla drzewnego i polepy (z odciskami plecionki), na jej N krawędzi trzy słupki (ryc. 24C); pod IXa, opada ku S przecinając w-wy X, XIa, XV i XVa.

X – bardzo spoista jasnobrunatna glina z cętkami ciemnymi; pod w-wą VIII i IX, opada od N ku S.

XI – zbita, jednolita szarobrunatna glina, pod w-wą X, opada od N ku S.

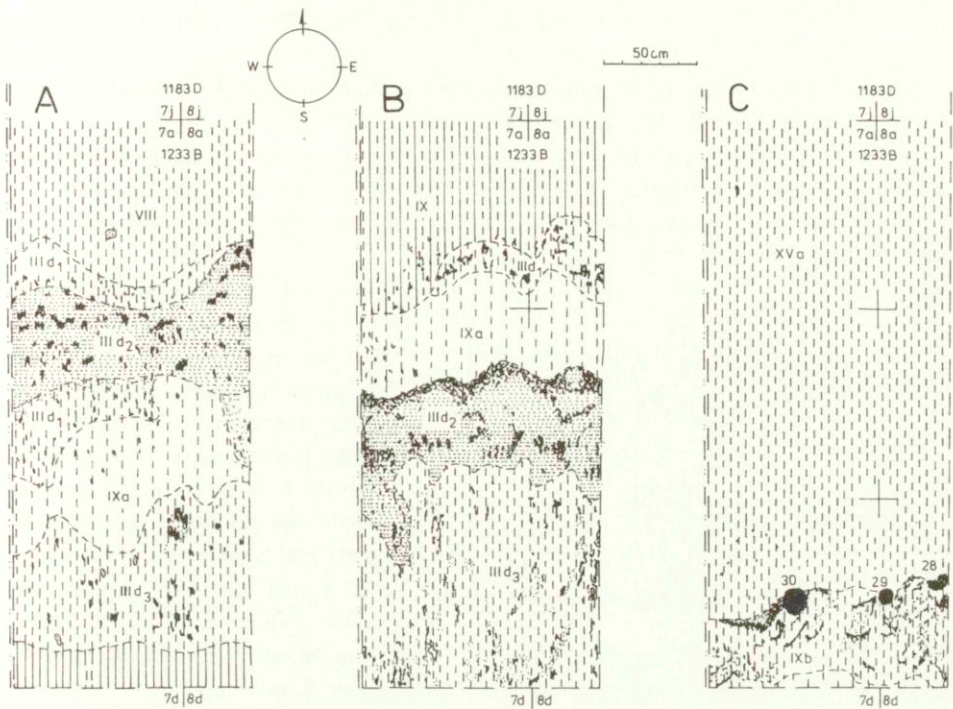
XIa – średnio spoista, jednolita ciemnoszaro-brunatna glina, pod w-wą X, występuje w S części wykopu dochodząc do wewnętrznych podnóży warstw XII i XIII; układ poziomy.

XII – spoista, niejednolita brunatno-kremowo-szara glina; pod w-wą XI, opada od N ku S.

XIII – średnio spoista, niejednolita ciemnoszaro-brunatna glina; pod w-wą XII, opada od N ku S.

XIV – spoista, jednolita ciemnoszaro-brunatna glina zalegająca tylko w N części wykopu, pod w-wą XIII.

XV i XVa – bardzo zbite, jednolite brunatne gliny (XVa nieco jaśniejsza), pod w-wą XIV w N części, a pod w-wą XIa w S części wykopu; układ poziomy.



Ryc. 24. Stradów, stan. 1, wał 3b. A–B – rzuty poziome warstwy III d na głęb. 180 (A) i 200 cm (B), C – rzut warstwy IX b i elementów pionowych 28–30 na głęb. 260 cm (słupek 30 na głęb. 270–290 cm); objaśnienia oznaczeń – patrz ryc. 9.

Fig. 24. Stradów, Site 1, rampart 3b. A–B – horizontal layouts of layer III d on levels 180 cm (A) and 200 cm (B), C – horizontal layout of layer IX b and vertical elements 28–30 on level 260 cm (peg 30 on level 270–290 cm); legend – c.f. Fig. 9.

XV b i XV c – nadcałcowe, bardzo zbite, beżowe (XV b) i szare (XV c) gliny; pod w-wą XV a, przecięte przez obiekty 1–5.

Calec – zbity, kremowobeżowy less, miejscami sinoszary.

Warstwy od I do XIV związane są z wałem obu faz, XV–XV a–c pochodzą sprzed budowy umocnień. Nawarstwienia w zasypisku fosy sygnowano od 1 do 7:

- 1 – próchnica orna oraz na części przestrzeni próchnica ze ściółką z zarośli.
- 2 – próchnica z grudami polepy i kawałkami węgla drzewnego, zapewne destrukcja wału II fazy po rozniesieniu jego części przez rolnika.
- 3 – czarnoszara próchnica, zapewne humus orny z okresu przed niwelacją części wału przez rolnika przy wytyczaniu drogi dojazdowej na pola.
- 4–7 – pokłady brunatnej i szarobrunatnej gliny, nie warstwowane, przypuszczalnie zamuliska górnej części fosy z warstw destrukcji wału.

Obiekty 1–5 (ryc. 25)

obiekt 1 – nieckowate zagłębienie, średn. min. 130 cm, miąż. 25–30 cm; bez materiału datującego, znaleziono tylko kość zwierzęcą.

obiekt 2 – kolista jama, średn. min. 90–110 cm, miąż. min. 70 cm, wypełniona ciemnoszarą próchnicą z grudami polepy, dużą ilością ceramiki KPL i kości zwierzęcych; przecina ob. 4.

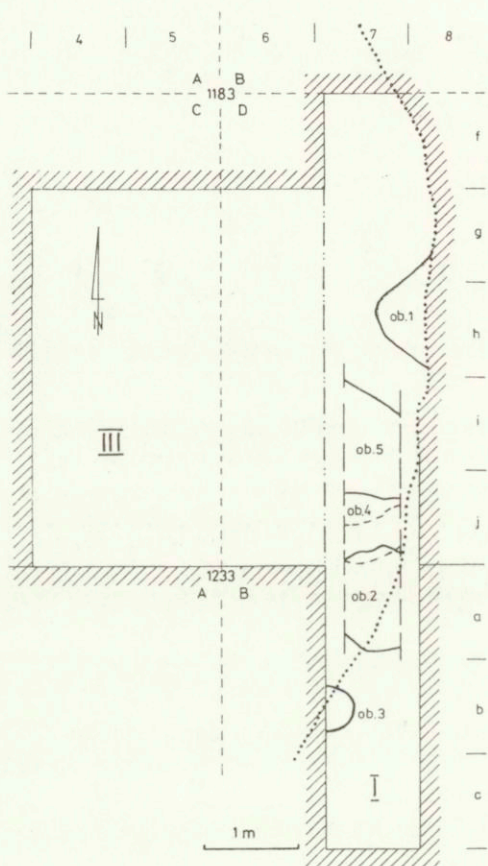
obiekt 3 – niewielkie zagłębienie, średn. 40–70 cm, miąż. 20–25 cm, wypełnione jasno-brunatną gliną, bez materiału.

obiekt 4 – niewielkie zagłębienie, średn. min. 60x80 cm, miąż. ok. 25 cm, wypełnione brunatnoszarą i szarą próchnicą, niewielka ilość ceramiki neolitycznej; przecięte przez ob. 2, prawdopodobnie przecina ob. 5.

obiekt 5 – jama o nie ustalonym kształcie, wyraźnie kolista granica od N, natomiast od S zaburzona przez wkopy ob. 2 i 4, średn. min. 140 cm, miąż. min. 70 cm, niewielka ilość ceramiki KPL i być może kultury lendzielskiej.

Konstrukcje drewniane 1–57 (ryc. 19/I–III, 21–23, 24C)

Pozostałości konstrukcji drewnianych znajdowały się przede wszystkim w wierzchołkowej części wału II fazy, p o d oraz w płaszczu spieczonej polepy, głównie w warstwie IIIc, niekiedy IIIe. W odkrywkach I i II zarejestrowano 57 elementów drewnianych (wyłącznie dębowych). Były to przede wszystkim półokrągłaki, szer. 10–20 cm, grub. 8–10 cm (ryc. 22) i zachowanej dług. od 10 do 150 cm (większość w granicach 60–80 cm). Leżały one poprzecznie do kierunku wału w układzie luźnej przekładki; odstępy między bierwionami były zróżnicowane: od 5 do 10, 20 do 40 cm, a na niektórych odcinkach nawet do 100 cm. Stwierdzono co najmniej dwa ich pokłady (ryc. 19/I–II). Na obrzeżach przekładki (ryc. 19/III) występowały ele-



Ryc. 25. Stradów, stan. 1, wał 3b. Lokalizacja obiektów neolitycznych w obrębie odkrywki I; objaśnienia oznaczeń – patrz ryc. 9 i 17.

Fig. 25. Stradów, Site 1, rampart 3b. Location of Neolithic features within the excavation unit I; legend - c.f. Figures 9 and 17.

menty krótsze i cieńsze, tkwiące albo pionowo (ryc. 23), albo ukośnie (z górną częścią pochyłoną do wnętrza nasypu). Ten układ oraz znalezienie w warstwie IXb kawałków polepy z odciskami patyków (przy założeniu, że warstwa IXb jest destruktem górnych pokładów konstrukcji – por. niżej), sugerować mogłyby, że ściany zewnętrzne umocnień z drewna tworzył rodzaj płotka ze słupków oplecionych wikliną.

Niewyjaśnione pozostają natomiast dwa „schodkowate” zagłębienia u wewnętrznych podnóży wału (ryc. 18A, 20, 24). Górne, wcięte w południowy skraj warstw VII–IX, będących częścią zespołu 1e, określonego niżej jako podwalina wyrównawcza, wypełnione było warstwą III_d zawierającą grudki i sproszkowaną polepę oraz dużą ilość węgla drzewnego, tworzącego w spągu tego wypełniska jakby sprasowany pokład, w którym nie zauważono jednak jakichkolwiek elementów na tyle wyodrębnionych, by można było pobrać z nich próbki do badań radiowęglowych czy dendrochronologicznych. Początkowo interpretowano ten układ jako rodzaj schodkowatego wejścia od wnętrza na wał, w które to wycięcie runęły później reszty zwęglonych konstrukcji drewnianych (pokłady sprasowanej spalenizny w spągu), a następnie przepalonego nasypu (polepa). Wyraźnie nieprzepalona warstwa IXa pod stopą warstwy III_d świadczyłaby o tym, że destrukcja nastąpiła już po wygaśnięciu pożaru.

Powyższe wyjaśnienie nie wydaje się być zadawalające po eksploracji „stopnia” dolnego, z którego uchwycono w wykopie tylko niewielką część. Był on mniej zagłębiony niż górny i przecinał warstwy X, XIa, XV i XVa. Wypełnisko tworzyła warstwa IXb zawierająca w spągu dużą ilość węgla drzewnego i polepy (w tym kilka bryłek z odciskami patyków), w stropie zaś bardziej przesycona gliną nieprzepaloną. Istotnym zjawiskiem, którego nie udało się zaobserwować w spągu warstwy III_d, były pozostałości trzech słupków (elementy nr 28–30), wbitych na linii wcięcia „stopnia” w starsze warstwy (ryc. 24C). Świadczyłyby one o śladach jakiegoś celowego układu konstrukcyjnego²¹.

Można przyjąć zatem dwa warianty interpretacyjne tych pozostałości spalenizny i pionowych elementów drewnianych, uchwycone – niestety – tylko na niewielkim odcinku u wewnętrznych podnóży wału: 1 – albo owe schodkowate zagłębienia wycięto dla osadzenia tu jakichś „skrzyniowatych” konstrukcji, których zwęglenie *in situ* w sposób niewytłumaczony nie przepaliło podłoża, 2 – albo (co wydaje się być bardziej prawdopodobne) wymodelowano stopnie dla ułatwienia dostępu na wierzchołek wału, a pionowe ścianki tych „schodków” zabezpieczono przed obrywaniem się jakąś konstrukcją, może z plecionki lub dranic, przymocowaną do słupków; po zniszczeniu zaś pożarem górnego trzonu umocnień, jego pozostałości opadały po stoku, wypełniając schodkowate zagłębienia.

Kompleksy stratygraficzne

K o m p l e k s 1 – tworzą 24 warstwy związane z wałem wczesnośredniowiecznym II fazy. Wydzielić dało się wśród nich pięć zespołów, 1a–1e. *Zespół 1a* obejmuje trzy warstwy zalegające na zboczach nasypu, a utworzone w wyniku jego destrukcji (I/II, II, II/III). *Zespołem 1b*

²¹ Nie mogą to być elementy pochodzące z destruktu jakichś wyżej położonych struktur drewnianych, a tylko przypadkowo ułożone w pozycji pionowej, gdyż np. słupek nr 30 był wyraźnie wkopany w starszą warstwę XVc na co najmniej 20 cm.

określono siedem warstw z górnej części zasypiska fosy (1–7). Do dalszych dwóch zaliczono spalone reszty trzonu wału: *zespól 1c* stanowią pokłady i bryły polepy wraz ze zwęglonymi bierwionami w wierzchołkowej partii nasypu (cztery w-wy – IIIa–IIIc, IIIe), a *zespól 1d* tworzą sprasowane pozostałości węgla drzewnego i polepy wypełniające dwa „stopnie” wycięte u wewnętrznych podnóży (trzy w-wy – IIIId, IXa, IXb). Jako *zespól 1e* określono siedem warstw (IV–X), będących zapewne podwaliną wyrównawczą na ruinach wału I fazy; górne z nich (IV–VI i strop VII) zalegają w układzie poziomym, dolne (VIII–X) opadają od N ku S, jak nawarstwienia kompleksu 2.

K o m p l e k s 2 – tworzą cztery warstwy opadające od N ku S (XI, XII, XIII, XIV), które są zapewne pozostałością południowych (wewnętrznych) zboczy nie spalonego wału I fazy. Do tego kompleksu zaliczono jeszcze jedną warstwę, XIa, stanowiącą jakby zmywy (destrukcję) stropowej części wału I; zalega ona jednak już w układzie poziomym, ma – wg gleboznawcy (prof. dr. hab. Stefana Skiby) – konsystencję antropogennej próchnicy i nie jest tak zbita, jak pokłady z wału.

K o m p l e k s 3 – składa się z czterech warstw (XV, XVa–c) i 5 jam (obiekty 1–5) związanych z osadą neolityczną.

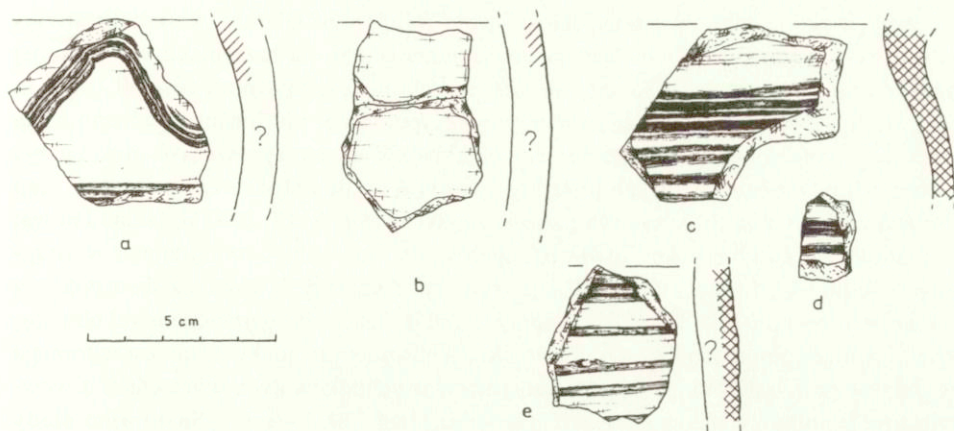
Z a b y t k i r u c h o m e

Materiał zabytkowy składa się wyłącznie z fragmentów ceramiki, ułamków narzędzi krzemiennych oraz kości zwierzęcych; w warstwie darni znaleziono jedyny przedmiot żelazny (współczesny). Na 115 pozycji inwentarza artefaktów jedynie 6 skorup pochodzi z doby wczesnego średniowiecza, pozostałe ułamki ceramiki, zarówno z nasypu wału obu faz, jak i z warstw poprzedzających jego budowę, pochodzą z młodszej epoki kamienia. W ob. 1 i 3 nie znaleziono żadnych zabytków, w ob. 4 i 5 – mało charakterystyczne neolityczne, natomiast ob. 2 – obok licznych kości, m.in. bydła – dostarczył dużą liczbę fragmentów i prawie całych okazów ceramiki kultury pucharów lejowatych (z pewnymi elementami kultury lendzielskiej)²².

Skorupy wczesnośredniowieczne zalegały w dwóch różnych kompleksach stratygraficznych. W warstwie próchnicy na rozwalisku wału I fazy (w-wa XIa) znaleziono trzy fragmenty brzuśców naczyń grubościennych, słabo obtaczanych (ryc. 26a–b), w tym jeden z ornamentem linii falistej wykonanej grzebykiem. Z warstw destrukcji wału II fazy (II, II–IIId) pochodzą trzy ułamki brzuśców tzw. ceramiki białej (w tym co najmniej jeden obustronnie obtaczany), zdobione rzadko rozmieszczonymi żłobkami poziomymi. (ryc. 26c–e).

Z uwagi na niedoskonałość dotychczasowych schematów klasyfikacji wczesnośredniowiecznej ceramiki małopolskiej (por. Poleski 1992, 40–60), trudno precyzyjnie scharakteryzować omawiane fragmenty pod względem typologicznym i chronologicznym, tym bardziej, że nie zachowały się partie brzegowe, najbardziej istotne dla tych celów. Można jedynie stwierdzić, że okazy zalegające na ruinie wału starszego należą do ręcznie lepionej, śladowo tylko obtaczanej ceramiki; jedynym diagnostycznym elementem jest pasmo linii falistej (ryc. 26a) o zaokrąglonych, a nie kanciastych załomach, co zwykle cechuje najwcześniejsze zdobione

²² Materiały te są opracowywane przez mgr Barbarę Burchard i zostaną opublikowane w następnym tomie *Sprawozdań Archeologicznych*.



Ryc. 26. Stradow, stan. 1, wał 3b. Ułamki ceramiki wczesnośredniowiecznej z warstw: XIa (a, b), II–III d (c, d) i II (e); objaśnienia oznaczeń – patrz ryc. 15. Rys. E. Osipowa.

Fig. 26. Stradow, Site 1, rampart 3b. Early Medieval pottery fragments from layers: XIa (a, b), II–III d (c, d), and II (e); legend - c.f. Fig. 15. Drawn by E. Osipowa.

naczynia małopolskie, z VIII w.²³ Wyraźnie bardziej zaawansowane są ułamki z destruktu wału młodszego (ryc. 26c–e), zarówno pod względem technologicznym: formująco (?) obtaczane, z gliny o domieszce węgla wapnia, która na obszarze lessów małopolskich występuje najczęściej w obiektach z VIII(?)–X w., jak i zdobnictwa: niezbyt zagęszczone żłobki poziome, charakteryzujące przeważnie okazy od schyłku (?) IX do połowy XI w.²⁴

Podsumowanie wyników badań na wale 3b

Sondażowe badania wału 3b potwierdziły przypuszczenie, że jest to jeden z elementów fortyfikacji grodu wczesnośredniowiecznego. Najprawdopodobniej był to obiekt dwufazowy. Istnienie jakiegoś starszego umocnienia, określonego wyżej jako faza I (kompleks stratygraficzny 2), poświadczają jedynie 4 warstwy gliny i gliny z próchnicą, opadające od N ku S, bez śladów konstrukcji drewnianych czy kamiennych, o łącznej miąższości do 1 m (ryc. 18A, w-wy XI–XIV). Trzon i stoki północne (zewnętrzne) tego nasypu (?) zostały zapewne zniszczone, być może w czasie kopania fosy wału młodszego²⁵.

²³ Wg U. Maj (1990, 17, ryc. 7) jest to ornament grupy b1, który na grodzie właściwym wystąpił na kilku okazach z najstarszych obiektów: 26, 31, 46, 103 (Maj 1990, ryc. 21–22, 37, 51–52).

²⁴ Wg klasyfikacji ceramiki stradowskiej przez U. Maj (1990, 15–18, ryc. 5, 7) są to okazy z masy garncarskiej I grupy, 3 lub 4 strefy zasięgu obtaczania, z ornamentem grupy e, wariantu nieokreślonego (4–7 ?).

²⁵ Podobnie w Naszacowicach wał I fazy został zniszczony prawie doszczętnie przy budowie fosy fortyfikacji późniejszych (por. Poleski 1988, 159; 1995, 62–64, ryc. 3).

Bezsporne są natomiast pozostałości wału młodszego (II faza, kompleks stratygraficzny 1). Wzniesiono go nieco bliżej wnętrza grodu, na rozsypisku wewnętrznej części wału starszego, narzucając na nie podwalinę z gliny miąższości 0,7–1,4 m (*zespół 1e* – ryc. 18A–B). Na tak wyrównanej, poziomej platformie osadzono trzon z dębowych bierwion w luźnej konstrukcji przekładkowej, przesypywanych gliną i przypuszczalnie zabezpieczonych przed osuwaniem na oba stoki przy pomocy ścian z plecionki na palikach dębowych (*zespół 1c* – ryc. 18A–B, 19, 21–23). Układ ten jest dokładną repliką konstrukcji stwierdzonych w trzonie wału wewnętrznego w Brzezowej (Ginałski, Muzyczuk 1989, 221, ryc. 7). Tworzyły ją również dwa pokłady bierwion luźnej przekładki, ułożone poprzecznie do osi wału, ograniczone od obu stoków rodzajem płotka z palików i doskonale zachowanej plecionki²⁶. Nie jest natomiast w pełni wyjaśniona funkcja resztek konstrukcji w schodkowatych wycięciach u wewnętrznych podnóży nasypu (*zespół 1d* – ryc. 18A, 20, 24A–C). Są to albo ślady nieokreślonych bliżej struktur drewnianych, flankujących wał od wnętrza i połączonych w niewyjaśniony bliżej sposób z górnym trzonem, albo pozostałości destruktu górnego trzonu, zwalone na stopnie wycięte w podwalinie celem ułatwienia wejścia na wierzchołek umocnienia²⁷. Od strony północnej, zewnętrznej, wykopano głęboką fosę, której dna nie udało się rozpoznać; dzisiejsza różnica poziomów między szczytem nasypu a osiągniętym poziomem zasypiska fosy (*zespół 1b* – ryc. 18A) wynosi około 4,8 m, nachylenie zaś zewnętrznego stoku 30°–40°. Wał ten spłonął w trakcie intensywnego pożaru i nie został już odbudowany; nawarstwienia pokrywające dziś jego wierzchołek i zbocza (*zespół 1a* – ryc. 18A–B) stanowią tylko pozostałości stopniowej destrukcji nasypu i spalonego trzonu górnego.

Uzyskane przesłanki pozwalają datować tylko II fazę umocnień. Na podstawie nielicznych ułamków ceramiki spod stopy nasypu (ryc. 26a–b), jego wzniesienie odnieść można do tzw. okresu plemiennego (po VIII–IX ? w.), a zniszczenie przed połową XI w., na co wskazywałoby kilka skorup z warstw jego destrukcji (ryc. 26c–e). Według analiz przeprowadzonych metodami nauk przyrodniczych, a szczególnie dendrochronologii, drewno na konstrukcje drewniane ścięto w 2 ćwierci X w. (Krapiec 1998). Trudna do ustalenia jest natomiast chronologia domniemanego wału I fazy. Fragmenty grubościennych naczyń, w tym jeden „archaicznie” wykonany ornamentem linii falistej (VIII–IX ? w.), zalegające na stropie jego zmywów, a pod na-

²⁶ Jako analogie do plecionkowej konstrukcji umocnień zwykło się cytować wały dwuczłonowego grodziska w Pobedimie. Na tym stanowisku jednakże komory o ścianach z plecionki tworzyły główny trzon wału, wzmocnionego od zewnątrz palisadą i licem kamiennym (Bialeková 1978, 164, ryc. 7, 13, 23).

²⁷ Wśród zbadanych umocnień Małopolski, jak i obiektów wielkomorawskich (por. Procházka 1990), brak na razie wyraźnych wskazówek sygnalizujących zastosowanie podobnego rozwiązania konstrukcyjnego. Wspomina o nim jedynie J. Herrmann (1969, 193, ryc. 2) w odniesieniu do wału grodziska w Vorwerk w Meklemburgii, jednakże publikowana mało czytelna dokumentacja owych „stopni” (które *nota bene* miały być również wyłożone drewnem lub plecionką), uniemożliwia bliższe porównywanie ze schodkowatymi wycięciami w wale 3b w Stradowie.

sypem wału młodszego, mogą pochodzić zarówno z czasu budowy, funkcjonowania, jak i – co wysoce prawdopodobne – z okresu po zniszczeniu tego starszego umocnienia.

Niespodziewane było ujawnienie poniżej stopy wału obu faz pozostałości osady neolitycznej, w postaci półmetrowego pokładu gliniastych warstw, nakrywających jamy kulturowe (ryc. 18A, 25). Ułamki naczyń z tego kompleksu, a przede wszystkim duże ich partie z ob. 2, pozwalają przypisać go kulturze pucharów lejowatych. Odkrycie to jest o tyle istotne, że w odległości niespełna 600 m na NE, na gruntach wsi Zagaje Stradowskie, zbadano w l. 1991–1995 nekropolę tej kultury: groby „megalityczne” o konstrukcji drewnianej (por. Burchard 1998). Niewykluczone zatem, że osadę stwierdzoną pod wałem 3b w Stradowie, wiązać należy z ludnością chowającą swych zmarłych w grobowcach na polu *Mogila* w Zagaju Stradovskim.

IV (wnioski)

Trzyczęściowy sondaż na wale 3b wykazał istnienie 29 warstw związanych z budową i destrukcją umocnień oraz 4 warstwy i 5 jam kulturowych sprzed ich wzniesienia. Dwudzielną strukturę nawarstwień wału (ryc. 18A) interpretować można jako odzwierciedlenie odrębnych faz istnienia fortyfikacji: I – wału starszego, z którego zachowała się tylko część nasypu od strony południowej (drugą, zewnętrzną zniszczyła zapewne fosa obwałowania późniejszego), II – wału młodszego, usytuowanego nieco bliżej wnętrza grodu i posadowionego na części rozsypiska wcześniejszego nasypu. Z wału fazy I zachowały się tylko 4 warstewki opadające od N ku S, o łącznej miąższości do 1 m, bez jakichkolwiek śladów konstrukcji drewnianych czy kamiennych. Poza fragmentami ceramiki neolitycznej nie znaleziono w nich żadnych innych zabytków, a jedynie w poziomie destrukcji (?) nasypu – ułamki naczyń z VIII–IX? w. *Terminus ante quem* jego powstania wyznaczony jest więc jedynie czasem usypania wału młodszego.

Umocnienie II fazy zbudowano na wyrównanej do poziomu podwalinie, niwelującej pochylenie nasypu I fazy. Jego górny trzon stanowiła struktura z dębowych okrągłaków, ułożonych poprzecznie do kierunku wału w luźnej konstrukcji przekładkowej, zabezpieczonej przed osuwaniem na stoki prawdopodobnie ścianami z plecionki na dębowych palikach. Trzon ten zniszczony został pożarem. U podnóży wewnętrznych nasypu natrafiono na pozostałości węgla drzewnego i polepy, wypełniające „stopnie” wycięte w podwalinie (śląd dodatkowych konstrukcji skrzyniowych czy też destrukcji zwalony z partii wierzchołkowych?). Od strony N, zewnętrznej, znajduje się głębokie zapadlisko fosy, której dna nie udało się osiągnąć. Zabytki archeologiczne sugerują wzniesienie wału II fazy p o lub w okresie VIII–IX w. (ułamki ceramiki pod jego stopą), a zniszczenie przed połową XI lub raczej końcem X w. (fragmenty naczyń w warstwie destrukcji). Według analiz dendrochronologicznych drewno na konstrukcje (dęby 30–letnie) zostało ścięte najpewniej w 2 ćwierci X w. (por. Krapiec 1998).

Znacznie trudniejsze do interpretacji są wyniki badań wału 2. Także i jego budowa wydaje się być dwufazowa. Wał młodszy, zachowany do dziś w postaci silnie niwelowanej orką i łączący wał 3b z wałem grodu centralnego wzdłuż linii N–S, nie

przebiega w tym samym kierunku, co struktury starsze (rów i jakieś nasypy), które zdają się ciągnąć po osi NNW–SSE (ryc. 9–10, 13). Jest to istotne stwierdzenie dla dalszych studiów nad rozplanowaniem i zagospodarowaniem zespołu grodowego w różnych fazach jego funkcjonowania. Konstrukcje te nie są wprawdzie widoczne na publikowanych przez J. Poleskiego planach grodziska opartych na analizie wykonanych przez niego zdjęć lotniczych. Należy jednak podkreślić, iż w świetle ustaleń tego badacza w zachodniej części podgrodzia *Mieścisko* znajdował się wał o orientacji podobnej do opisywanego tu rowu (por. ryc. 2c oraz Poleski 1996, ryc. 5). Choć brak jednoznacznych podstaw do datowania pierwszej fazy użytkowania badanego terenu, to jej wczesnośredniowieczna chronologia zdaje się jednak nie ulegać wątpliwości.

Wykop uchwycił podnoża wału od strony podgrodzia *Mieścisko*, nie objął niestety stoków zewnętrznych i fosi, położonych zapewne na polu sąsiadującym od E; rozpoznanie tej części wału 2 pozostaje zadaniem do wykonania w najbliższej przyszłości. W tej sytuacji nie można określić ściśle pierwotnej szerokości i wysokości wału młodszego; jego obecna miąższość wynosi od 1,4 do 3 m (ryc. 9, 10). Wytypowana do eksploracji część nie zawierała niestety przepalonych szczątków drewna na tyle dużych, by nadawały się do analiz dendrochronologicznych, a nawet ^{14}C . Dostarczyła natomiast zespołu ułamków naczyń wystarczających do określenia *terminus post quem* wzniesienia wału II fazy. Nastąpiło to w tzw. dobie plemiennej, prawdopodobnie w lub p o VIII–IX w., lecz nie później niż połowa X w., z uwagi na brak okazów ceramiki bardziej zaawansowanej, z tzw. okresu państwowego. Najprawdopodobniej konstrukcje starsze powstały i przestały funkcjonować niedługo przed rozpoczęciem budowy wału młodszego.

Prace wykopaliskowe 1997 r. w Stradowie przyniosły kilka nowych elementów, w istotny sposób wzbogacających problematykę tego, wciąż niedostatecznie rozpoznanego obiektu grodowego.

1. Eksplorowano niebadane dotąd wały podgrodzi stwierdzając ich dwufazowość, szczegóły konstrukcyjne budowy oraz niepowtarzanie przez wały młodsze – przynajmniej na obszarze odkrywek – przebiegu domniemanych umocnień z fazy starszej. Szczególnie ważne wydaje się być uzyskanie przesłanek sugerujących istnienie pierwotnie innego – niż widoczny dziś na powierzchni – systemu fortyfikacji w rejonie podgrodzia *Mieścisko*: rów pod wałem 2, ukośny do jego przebiegu, a równoległy do wału odkrytego na zdjęciach lotniczych przez J. Poleskiego (ryc. 2c).

2. Odkryta w wale 3b konstrukcja luźnej przekładki, od strony zboczy przypuszczalnie flankowana ścianami z plecionki, nie została stwierdzona w fortyfikacjach grodu centralnego, gdzie – przynajmniej w fazie II i III – istniały umocnienia skrzynioworusztowe ze ścianą „oporową” (faza II) z pionowych słupów (Tyniec-Kępińska 1996, 37).

3. Fragmenty ceramiki spod nasypów i warstw destrukcji oraz analizy dendrochronologiczne wskazywałyby na powstanie badanych obwałowań podgrodzi w tzw. okresie plemiennym: starszych fortyfikacji w nieokreślonym bliżej czasie między VIII a IX w., młodszych u schyłku tego okresu, przed połową X w. (wał 2) lub około 2 ćwierci tego stulecia (wał 3b). Wyniki te nie są zgodne z nowszymi ustaleniami

chronologii umocnień grodu centralnego, którego najstarsza z trzech faz datowana jest nie wcześniej niż połowa X w. (Tyniec-Kępińska 1996, 45 i tam starsza literatura przedmiotu).

Pozostaje zatem przyjęcie jednej z dwóch koncepcji:

a) ramy czasowe ustalone dla początków grodu centralnego opierają się na przesłankach wymagających weryfikacji;

b) fortyfikacje grodu zachowanego dziś jako centralny, powstały nieco później niż umocnienia nazwane wałem 2 i 3b.

4. Ujawnienie poniżej stopy wału 3b pozostałości intensywnego osadnictwa kultury pucharów lejowatych, w powiązaniu z faktem istnienia grobów „megalitycznych” tej kultury, o konstrukcji drewnianej, w odległości ok. 600 m na NE (Burchard 1998), stanowić może istotny element dla odtwarzania obrazu osadnictwa tego rejonu w młodszej epoce kamienia.

5. Z działalnością człowieka na obszarze wału 2 w okresie późniejszym niż jego budowa i funkcjonowanie, wiąże się obiekt 3 (ognisko) oraz moneta Augusta III Sasa z 1752 r., zalegające w spągu zmywów tego wału. Wspomniana moneta pozwala – być może – datować początki intensywnej jego destrukcji na 2 poł. XVIII w.

*Instytut Archeologii i Etnologii PAN
Oddział w Krakowie*

BIBLIOGRAFIA

- Bialeková Darina
1978 *Výskum a rekonštrukcia fortifikácie na slovanskom hradisku v Pobedime*, Slov. Arch. 26, s. 149–177.
- Burchard Barbara
1998 *Badania grobowców typu megalitycznego w Zagaju Stradowskim w południowej Polsce*, Spraw. Arch. 50, s. 149–156.
- Dąbrowska Elżbieta
1965 *Studia nad osadnictwem wczesnośredniowiecznym Ziemi Wiślickiej*, Wrocław.
1973 *Wielkie grody dorzecza górnej Wisły. Ze studiów nad rozwojem organizacji terytorialno-plemiennej w VII–X wieku*, Wrocław.
- Cetera Andrzej, Okoński Jerzy
1994 *Grodzisko w Zawadzie – dziesięć lat później*, „Rocznik Tarnowski”, s. 287–310.
- Ginałski Jerzy, Muzyczuk Anna
1989 *Wyniki badań wykopaliskowych na grodzisku wczesnośredniowiecznym w Brzezowej, gmina Nowy Żmigród, województwo krośnieńskie*, AAC 28, s. 217–232.
- Hennig Joachim
1998 *Archäologische Forschungen an Ringwällen in Niederungslage: die Niederlausitz als Burgenlandschaft des östlichen Mitteleuropas im frühen Mittelalter [w:] Frühmittelalterlicher Burgenbau in Mittel- und Osteuropa*, Bonn, s. 9–29.

- H o c z y k-S i w k o w a Stanisława
1979 *Chronologia ceramiki wczesnośredniowiecznej (VI – IX w.) z Lublina*, Sl. Ant. 25 (za 1978), s. 189–223.
- H e r r m a n n Joachim
1969 *Die Schanze von Vorwerk bei Demmin – Die Civitas des wilzischen Oberkönigs Dragowit?*, „Ausgrabungen und Funde” 14, s. 191–197.
- K r a p i e c Marek
1998 *Bezwzględne datowanie zwęglonego drewna z wału 3b wczesnośredniowiecznego grodziska w Stradowie*, Spraw. Arch. 50, s. 265–270.
- L i t y Ń s k a-Z a j ą c Maria
1998 *Węgle drzewne z wczesnośredniowiecznych wałów podgrodzia w Stradowie, gm. Czarnocin*, Spraw. Arch. 50, s. 271–276.
- M a j Urszula
1990 *Stradów, stanowisko 1. Część I. Ceramika wczesnośredniowieczna*, Kraków.
- M a j Urszula, Z o l l-A d a m i k o w a Helena
1992 *W kwestii chronologii wczesnośredniowiecznego grodziska w Stradowie*, Spraw. Arch. 44, s. 273–296.
- P a r c z e w s k i Michał
1982 *Plaskowyz Głubczycki we wczesnym średniowieczu*, Kraków.
- P o l e s k i Jacek
1988 *Wyniki dotychczasowych badań ratowniczych na grodzisku w Naszacowicach, województwo nowosądeckie*, AAC 27, s. 153–184.
1989 *Stratygrafia w rejonie zachodniego odcinka wału głównego członu grodziska w Naszacowicach, województwo nowosądeckie*, AAC 28, s. 145–164.
1992 *Podstawy i metody datowania okresu wczesnośredniowiecznego w Małopolsce*, Kraków.
1994 *Die Keramik des 7.–11. Jahrhunderts in Klempolen. Forschungsstand und Forschungsperspektiven*, [w:] *Slawische Keramik in Mitteleuropa vom 8. bis zum 11. Jahrhundert*, „Internationale Tagungen in Mikulčice” 1, Brno, s. 155–164.
1995 *Naszacowice, Woiwodschaft Nowy Sącz, Gemeinde Podegrodzie – Ein frühmittelalterlicher Burgwall – dritter Schnitt des Walls*, „Recherches Archeologiques de 1991 et 1992”, s. 61–70.
1996 *Grody plemienne i wczesnopaństwowe*, [w:] *Początki sąsiedztwa. Pogranicze etniczne polsko-rusko-słowackie w średniowieczu*, Rzeszów, s. 109–119.
- P r o c h á z k a Rudolf
1990 *Charakteristika opeňovacích konstrukcí předvelkomoravských a velkomoravských hradišť na Moravě*, [w:] *Pravěké a slovanské osídlení Moravy. Sborník k 80. narozeninám Josefa Poulíka*, Brno, s. 288–306.
- R a d w a Ń s k i Kazimierz
1968 *Wczesnośredniowieczna ceramika krakowska i zagadnienie jej chronologii*, Mat. Arch. 9, s. 5–89.
- T y n i e c-K ę p i Ń s k a Anna
1996 *Nowe spojrzenie na fortyfikację grodu właściwego w Stradowie, woj. Kielce*, Spraw. Arch. 48, s. 33–47.
- Ż a k i Andrzej
1974 *Archeologia Małopolski wczesnośredniowiecznej*, Wrocław.

MARCIN WOŁOSZYN, HELENA ZOLL-ADAMIKOWA

FIRST EXCAVATIONS OF *SUBURBIA* RAMPARTS AT STRADÓW IN 1997

(Summary)

Early Medieval settlement complex at Stradów, Kielce province, comprises a large fortified area referred as Site 1 (the so-called hillfort proper – *Zamczysko*, and three separate *suburbia* – *Barzyńskie*, *Mieścisko*, and *Waliki*), two open settlements, i.e. sites 2 and 4, and also two cemeteries, i.e. sites 3 and 6 (Fig. 1–2). The complex was systematically excavated between the years 1956 and 1963. The first work of an intended monographic series based on material obtained in the course of these excavation has been already published (Maj 1990).

In 1958–1960 a massive rampart of the hillfort proper, even today rising up to 6 meters, was examined, together with its six-meter-deep moat. Initially, the beginning of this fortification was being put to the middle of the 8th century, or possibly the 7th or 7th/8th centuries (Dąbrowska 1965; 1973). After analyses of pottery, mainly from settlement layers dated prior to the rampart construction, and also from the rampart itself, *terminus post quem* of the fortification has been shifted forward to at least the mid 10th century (Maj, Zoll-Adamikowa 1992; Tyniec-Kępińska 1996). Uncertain remains the time when the fortress was abandoned, either in the course of a calculated action of the first Piasts (Dąbrowska 1965; Żaki 1974), or during the time of the so-called Second Monarchy. The latter hypothesis seems to be vindicated by relatively young ¹⁴C dates (about the middle of the 11th century) of charcoal samples from the latest constructions of the rampart.

A project of the Committee For Scientific Researches entitled “Poland During the Time of the Gniezno Summit” included sounding examination of the *suburbia* fortifications so far unexplored, to be carried out by the Institute of Archaeology and Ethnology, Polish Academy of Sciences, Cracow Branch. Rampart 2, separating *Mieścisko* and *Barzyńskie suburbia*, and the northern section (3b) of the outer rampart (Fig. 2 and 3), were selected for the examination.

Rampart 2, of unknown height and over twenty-meter-wide, is now very much damaged by plowing (Fig. 4 and 6). Safe from its southern section, the rampart runs is orientated N–S (Fig. 2). The excavation of 1997 comprised the rampart’s western slope and western crest, within area denoted as 1377 and 1378 (Fig. 3 and 8). The eastern slope, excluded from the excavations, is damaged to a great extent; the elevation difference between western and eastern parts of the rampart is about 1 meter. The examination of the eastern part of rampart 2 remains an urgent research postulation.

In the course of the excavation 36 layers were singled out, grouped in 5 complexes (not counting a virgin soil level): 1, 2, 2a, 3, 4 (Fig. 9–11a, 12a–b). Eight archaeological features (Fig. 11, 13, 14, and the table) were examined. Altogether, 103 Early Medieval

pottery fragments (Fig. 15, 16) and a coin of Augustus III the Saxon from 1752* were recovered, the latter artifact from the bottom of a destruction layer of the rampart.

The results of the examination of rampart 2 are difficult to interpret. It seems that the construction was two-phased. The younger rampart (complexes 3–4) has survived strongly leveled by plowing. It links rampart 3b with the rampart of the hillfort proper along N–S axis, running in a different direction than the older structures: a ditch – feature 8 (Fig. 11a, 13, 14) and earth banks – layers comprising complex 2 (Fig. 9–10, 12a), both seemingly orientated NNW–SSE. This is an observation important for future studies on hillfort complex layout in various phases of its utilization. The constructions in question are not visible on aerial photographs published by J. Poleski (1996). However, the same author observed, that in the western part of *Mieścisko* was a rampart oriented similarly to the ditch here described (c.f. Fig. 2c). There are no decisive evidences for dating this earliest phase of the utilization of the excavated part of the hillfort, yet the Early Medieval times are rather unquestionable.

The excavation trench at the foot of rampart 2 from the *Mieścisko* side did not comprise its outer slopes and a moat, located probably on a field adjacent from the east, what was unfortunate. Consequently, it was not possible to determine the original width and height of the younger rampart, its height being nowadays 1.4 to 3 meters (Fig. 9–10). The excavated section did not contain burnt wood pieces big enough for dendrochronological and radiocarbon analyses. Instead, an assemblage of pottery fragments was recovered. It allows to determine the time *post quem* for the rampart of phase II (Fig. 15a–h, 16). It was erected during the so-called Tribal Period, probably in the 8th–9th centuries or afterwards, yet not later than the mid 10th century, inferring from the absence of more developed pottery from the so-called State Period. Most probably older constructions were built, and also ceased to exist, shortly before the construction of the younger rampart.

Feature 3 (Fig. 13), discovered in the bottom of a destruction layer (layer XIII), was the vestige of a fireplace, most probably related to times after the construction and utilization of rampart 2. We can also assume that the coin from the reign of Augustus III the Saxon (1752), found in a similar context, indicates the beginning of an intensive destruction of the rampart.

Rampart 3b, 10 meter wide and 1.3 meter high (3.5 meters, if measured from the uppermost level of a moat fill) has survived relatively well, due to a thick brush covering this area (Fig. 5). A rampart section to the west from the section, damaged by accessing fields by this way, was selected for the excavation. The Exploration was being made within three excavation trenches (Fig. 17): I – at a plumb (cut to vertical) escarpment of the ruined bank of the rampart, to obtain its complete cross-section (Fig. 7, 18A), II – in the moat, along the axis of trench I; the exploration was terminated before reaching the moat bottom (Fig. 18A), III – in the extension of trench I to the west; only upper, burnt rampart core was explored for recognition of its construction and collecting dendrochronological samples (Fig. 18B).

* C.f. Footnote 8 in the Polish text.

The three-part sounding of rampart 3b revealed 29 layers related to the construction and utilization of the fortification, as well as 4 layers and 5 cultural pits dated prior to that time. A double layer structure of the rampart (Fig. 18) can reflect its two-phased history, comprising: I – the older rampart, which survived partly only in its southern part (the northern part probably destroyed by a moat of the younger rampart); II – the younger rampart, located slightly closer to the hillfort center, erected partly on a destruction debris of the older construction. Save 4 layers sloping N–S, jointly 1 meter thick (complex 2) yet without any wooden or stone construction, nothing has remained from the rampart of phase I. Apart from Neolithic pottery fragments no other artifacts were found there. Only a layer resulting possibly from rampart's bank destruction (layer XIa) yielded pottery from the 8th–9th centuries (Fig. 26a–b). Therefore, the *terminus ante quem* for the older rampart can be fixed only by the time of the erection of the younger one.

Fortifications of phase II were built on base leveling slopes of the earth banks of phase I (complex 1e). Its upper core (complex 1c) is a structure built of oak beams transversal to the rampart's axis, in a form of loose crossed logs, seemingly protected against sliding down by plaitwork walls set on oak stakes (Fig. 19, 21–23). The core was damaged by fire and never rebuilt; layers covering the crest and slopes of the bank (complex 1a) resulted from its gradual destruction. At the foot of the inner side of the rampart charcoal and dabbed clay were found. They filled “steps” cut into the rampart's base (complex 1d); they are either a vestige of additional chest constructions, or destruction remains of the collapsed upper part (Fig. 20, 24). From the northern, outer side there is a deep hollow of the moat, filled mainly by loamy layers (complex 1b). Archaeological artifacts indicate that the rampart of phase II was erected during or after the 8th–9th centuries (pottery fragments recovered from below its foot – Fig. 26a–b), and destroyed before the mid 11th century, or rather towards the end of the 10th century (pottery fragments recovered from the destruction layer – Fig. 26c–e). According to dendrochronological analyses trees used for the construction (30-year-old oaks) were cut down most probably in the 2nd quarter of the 10th century (Krapiec 1998).

Complex 3, related to times prior to the Early Medieval fortifications, comprises layers 0.5 thick and also 5 pits (Fig. 18A, 25) of the Neolithic Funnel Beaker culture.

Excavations at Stradów in 1997 brought to light a few new elements augmenting our still inadequate knowledge of the hillfort.

1. The excavations of the *suburbia* ramparts, so far unexplored, proved that they are two-phased, revealed constructional details and determined that the fortifications of the younger phase do not repeat – at least on the excavated area, the earlier layout. Especially important are the observations suggesting the presence of the earliest fortification system, different from the one visible today, in the area of *Mieścisko suburbium*: the ditch beneath rampart 2, diagonal to the latter and parallel to the rampart visible on J. Poleski's aerial photographs (Fig. 2c).

2. Loose crossed-log construction discovered in rampart 3b, flanked by wall of plaitwork, was not confirmed in the fortifications of the hillfort proper, which contained

– at least during phases II and III – chest and crossed logs with a “retaining wall” (phase II) of vertical poles (Tynieć-Kępińska 1996, 37).

3. Pottery fragments recovered from below the earth banks and from the destruction layers, as well as dendrochronological analyses, suggest that the excavated *suburbia* fortifications originated during the so-called Tribal Period: the older fortifications some time between the 8th and 9th centuries, and the younger ones at the close of that period, before the mid 10th century (rampart 2), or about the 2nd quarter of the same century (rampart 3b). These conclusions do not correspond to the most recent dating of the hillfort proper, where the earliest phase (out of three singled out) is dated not earlier than the middle of the 10th century (Tynieć-Kępińska 1966, 45 and the literature cited there). Concluding, one of the two explanations listed below should be accepted: either chronological frame applicable for the beginning of the hillfort proper should be verified, or the fortifications of the hillfort, now in a central position, were erected some time after the fortifications referred by us as ramparts 2 and 3b.

4. Traces of intensive Funnel Beaker culture settlement, discovered beneath the foot of rampart 3b, in conjunction with “megalithic” graves of wooden construction of that culture in a distance of ca. 600 meters to the north-east (Burchard 1998), are important elements for reconstruction of the settlement picture in the vicinity of the site during the period of the Younger Stone Age.

5. Feature 3 (fireplace) and the coin of Augustus III the Saxon reflect man’s penetration of the site following times when rampart 2 was built and utilized. The coin in question possibly suggests that a massive destruction of the hillfort began about the middle of the 18th century.

Translated by Jerzy Kopacz